



**HAL**  
open science

# Échantillonnage et estimation dans l'Inventaire Forestier National. Essai de reconstruction et formalisation.

Olivier Bouriaud

## ► To cite this version:

Olivier Bouriaud. Échantillonnage et estimation dans l'Inventaire Forestier National. Essai de reconstruction et formalisation.. [Rapport de recherche] Institut National de l'Information Géographique et Forestière; Laboratoire d'Inventaire Forestier. 2020. hal-03039886v2

**HAL Id: hal-03039886**

**<https://hal.science/hal-03039886v2>**

Submitted on 25 Jun 2021

**HAL** is a multi-disciplinary open access archive for the deposit and dissemination of scientific research documents, whether they are published or not. The documents may come from teaching and research institutions in France or abroad, or from public or private research centers.

L'archive ouverte pluridisciplinaire **HAL**, est destinée au dépôt et à la diffusion de documents scientifiques de niveau recherche, publiés ou non, émanant des établissements d'enseignement et de recherche français ou étrangers, des laboratoires publics ou privés.



Distributed under a Creative Commons Attribution - NonCommercial - NoDerivatives 4.0 International License

# Échantillonnage et estimation dans l'Inventaire Forestier National Essai de reconstruction et formalisation

Olivier Bouriaud

Laboratoire d'Inventaire Forestier  
Institut National de l'Information Géographique et Forestière  
14 rue Girardet, F-54000 Nancy, France  
`Olivier.Bouriaud@ign.fr`

Mai 2021  
v2

## Résumé

Ce document présente les éléments principaux de l'échantillonnage et les méthodes d'estimation mises en œuvre dans l'inventaire forestier national (IFN) depuis sa réforme en 2004, à l'origine de la « nouvelle méthode d'inventaire ». Il reconstitue le raisonnement logique permettant d'aboutir aux estimateurs statistiques implémentés depuis 2005 et représente ainsi un effort de formalisation conforme à la théorie des sondages. L'enquête IFN est très complexe car à la fois spatiale, temporelle, portant sur une population dynamique et ayant de très nombreux attributs à évaluer simultanément. Elle a donc déployé des méthodes d'échantillonnage et d'estimation spécifiques et originales, essentiellement basées sur un échantillonnage en deux phases et l'emploi poussé de la post- stratification.

## Mots clés

Sondages ; échantillonnage ; inventaire forestier ; stratification ; estimateurs ; variance ; post- stratification

# Table des matières

<b>1</b>	<b>Préambule</b>	<b>4</b>
<b>2</b>	<b>Introduction</b>	<b>4</b>
2.1	Deux populations cibles inventoriées conjointement . . . . .	4
2.2	Définition du domaine d'intérêt échantillonné . . . . .	5
2.3	Données cibles de l'IFN . . . . .	5
2.4	Un inventaire continu, annuel, des combinaisons d'estimations annuelles .	6
<b>3</b>	<b>L'échantillonnage</b>	<b>6</b>
3.1	Maillage et échantillonnage annuel. Propriétés interannuelles . . . . .	6
3.2	Un échantillonnage annuel en deux phases . . . . .	7
3.3	Définition de « post-strates » . . . . .	9
<b>4</b>	<b>Estimations : post-stratification, estimateurs</b>	<b>10</b>
4.1	Échantillonnage d'une population continue et articulation entre la population de surfaces et celle d'arbres . . . . .	10
4.1.1	Densité spatiale moyenne . . . . .	11
4.2	La méthode de partage des poids . . . . .	12
4.3	Du rôle de la placette dans la seconde phase . . . . .	13
<b>5</b>	<b>Estimation des totaux</b>	<b>14</b>
5.1	Total d'une variable liée à des proportions de surface . . . . .	14
5.2	Total d'une variable liée aux arbres . . . . .	15
<b>6</b>	<b>Estimation de la variance, estimation des erreurs</b>	<b>18</b>
6.1	Variance de la surface d'un sous-domaine . . . . .	18
6.1.1	Estimation . . . . .	19
6.1.2	Variance . . . . .	19
6.2	Les effectifs équivalents d'équiprobables . . . . .	24
6.3	Variance d'un total d'une variable arbre niveau point . . . . .	24
6.4	Variance de la moyenne . . . . .	27
<b>7</b>	<b>Discussion</b>	<b>28</b>
7.1	Fondements principaux . . . . .	28
7.2	Aspect spatialement systématique des tirages, principe de dualité . . . .	28
7.2.1	Tirage aléatoire systématique . . . . .	28
7.2.2	Principe de dualité, ou comment passer d'une population continue à une population discrète . . . . .	29
7.2.3	Les questions les plus difficiles vis-à-vis des méthodes déployées .	29
<b>8</b>	<b>Remerciements</b>	<b>30</b>
<b>9</b>	<b>Bibliographie</b>	<b>30</b>
<b>10</b>	<b>Littérature de spécialité</b>	<b>31</b>



# 1 Préambule

Ce document a pour objet de présenter les éléments principaux de l'échantillonnage et les méthodes d'estimation mises en œuvre dans l'inventaire forestier national (IFN) depuis sa réforme en 2004, à l'origine de la « nouvelle méthode d'inventaire », qui a vu le plan de sondage passer d'un niveau départemental désynchronisé périodique, à un niveau national systématique annuel (Vidal et al. [2008]). L'enjeu est de reconstituer un raisonnement logique, permettant d'aboutir aux estimateurs statistiques implémentés depuis 2005, et dont le fondement est à ce jour inconnu de la communauté d'inventaire forestier, et de sondages en général. Les méthodes d'estimation n'ont pas fait l'objet d'une présentation. La description des méthodes d'échantillonnage a reçu plus d'attention mais reste très sommaire et incomplète, et n'est pas remise dans le contexte de la théorie des sondages. La reconstruction des méthodes d'estimation s'est donc appuyée sur de rares documents, parfois contradictoires, toujours incomplets (Hervé 2005, 2006 ; Hervé X ; Pesty 2017 ; IFN 2017). Aucun ne décrit l'approche ou la logique, ni les hypothèses à la base des estimateurs utilisés dans l'enquête. Cet essai de formalisation reflète ainsi les réflexions et efforts menés dans le but de retrouver le cheminement, les hypothèses et la logique de ces estimateurs tels qu'ils ont été initiés par Jean Wolsack puis développés et mis en œuvre par Jean-Christophe Hervé.

Les méthodes d'échantillonnage sont décrites de manière relativement succincte ici, car l'objet est de présenter les aspects de l'échantillonnage qui contraignent l'estimation, et non de réaliser une description exhaustive des éléments de l'échantillonnage, lesquels ont par ailleurs changé durant les quinze années d'existence de la nouvelle méthode.

## 2 Introduction

### 2.1 Deux populations cibles inventoriées conjointement

L'inventaire forestier national enquête plusieurs attributs simultanément, et notamment, le fait à base d'un même dispositif : i) la couverture et l'utilisation du sol et ii) des arbres. Le premier sujet, la couverture et l'utilisation des sols, est nécessaire pour déterminer la surface de l'objet primaire d'étude qui est la forêt. La localisation et la taille du domaine d'étude forêt n'est pas connue avant enquête, et a même un caractère dynamique. La liaison très forte entre les deux attributs -forêt (type de couverture du sol et son utilisation) et les arbres- justifie cette superposition et le fait que l'on puisse étudier simultanément les deux. L'inventaire n'étudie pas tous les arbres, il n'étudie que ceux qui sont dans son domaine d'étude : la forêt et autres formations boisées.

Les surfaces forestières (ou par catégories plus fines, ex. hêtraies) forment un sous-ensemble de la surface du domaine étudié. Il existe une infinité de possibilités de segmenter le territoire dans des unités (portions discrètes), de même que l'on peut tirer une infinité de points d'une surface donnée. La population d'arbres (dans son domaine) est une population discrète, finie, dont la taille n'est pas connue avant enquête. De plus, la localisation dans l'espace n'est pas connue non plus et s'avère dynamique. La difficulté d'échantillonner des populations dynamiques et de taille inconnue dans un domaine spatial donné ont conduit au développement d'approches très spécifiques de l'échantillonnage

et de l'estimation, qui sont décrites dans la section suivante. Déterminer la taille de la population d'arbres conduit, compte tenu de l'objectif de l'inventaire, à estimer par exemple le nombre total d'arbres, ou la somme des volumes des arbres.

Conséquence du fait que ni la taille ni la localisation de la population d'arbres et de la forêt ne sont connues avant enquête, le domaine inventorié doit couvrir tout le territoire, et dépasse donc très certainement le **domaine d'étude**.

## 2.2 Définition du domaine d'intérêt échantillonné

**Le domaine d'étude D** a une surface connue  $A_D$ . Dans un IFN, ce domaine correspond au pays, ou à une fraction administrative telle que le département. **La base de sondage** (*sampling frame*) a une surface  $A_F$  (F pour Frame), et est constituée d'une grille qui contient D ( $A_F > A_D$ ). La surface  $A_F$  n'est pas nécessairement connue. La grille définissant et contenant toutes les mailles utilisées pour construire les échantillons (cf. §3.1), elle constitue cette base de sondage.

**Le domaine d'intérêt**, typiquement la « forêt », a une taille inconnue  $A_X$  (la déterminer est même le premier objectif de l'enquête). Un échantillon est constitué à partir d'une sélection d'un nombre fini de mailles tirée dans la base de sondage. Les points peuvent être à la limite du domaine d'intérêt, mais pas à la limite de la base de sondage. La correction des points limites (tombant à la limite ou même partiellement en dehors du domaine d'étude) n'est ainsi pas nécessaire.

**Un sous-domaine**, par exemple la forêt dominée par le hêtre comme espèce, ou encore la forêt de structure verticale irrégulière, a une taille inconnue (la déterminer est aussi un objectif de l'enquête), est défini à partir de variables catégorielles, et forme une partie de la partition du domaine d'intérêt, définie par ces variables.

La forêt désigne un type de couverture du sol très spécifique faisant l'objet d'une définition internationale (FAO 2004) : terres d'une surface minimum de 0,5 ha, d'une largeur supérieure ou égale à 20 m et de taux de recouvrement des arbres supérieur ou égal à 10%, où la vocation forestière ne peut a priori être écartée. Les vergers cultivés sont exclus.

On appelle arbre tout végétal ligneux (hors liane) dépassant 5 mètres de haut (hauteur en crête) à maturité *in situ*.

L'IFN a un champ d'étude excédant la forêt, couvrant en permanence non seulement la forêt mais aussi les bosquets et les landes, dont la définition est basée sur les mêmes critères que la forêt, mais avec des seuils de surface et taux de couvert différents (ex : pour les landes, taux de recouvrement absolu des arbres inférieur à 10%, hors arbres épars, sur une surface supérieure ou égale à 5 ares et sur une largeur supérieure ou égale à 20 mètres). Quelques ordres de grandeur exprimés en fraction de la surface du territoire : la forêt représente 31% de la surface du territoire métropolitain, les landes représentent 5%.

## 2.3 Données cibles de l'IFN

L'IFN produit des données quantitatives assorties de termes d'erreur concernant des surfaces et des volumes (et beaucoup d'autres attributs). Les très nombreux caractères (paramètres) des populations étudiées constituent des clés de ventilation des estimations. Leur combinaison fournit encore plus de clés de ventilation, l'ordre de grandeur du nombre

total de combinaisons des modalités étant le million.

*Un exemple* : type de propriété  $\times$  sylvoécocorégion  $\times$  classe de diamètre  $\times$  espèce dominante, sachant que chacune des variables a plusieurs modalités, en ordre de grandeur  $3 \times 100 \times 10 \times 100 = 300,000$ .

Il faut remarquer le fait que les clés de ventilation peuvent provenir de chacune des deux populations, des surfaces et des arbres : typiquement le type de propriété est une variable surfacique, la classe de diamètre et l'espèce dominante proviennent des arbres échantillonnés.

Deuxième point essentiel, l'IFN ne produit pas qu'une estimation de l'état des forêts (surfaces et stock sur pied) à un moment donné et de manière cyclique, il fournit aussi une estimation des flux dans les populations : évolution nette du stock et de la surface forestière, accroissement, recrutement, récolte et mortalité s'agissant des arbres.

## 2.4 Un inventaire continu, annuel, des combinaisons d'estimations annuelles

L'enquête couvre tout le territoire métropolitain de façon annuelle. Chaque année correspond à un échantillon propre, couvrant tout le territoire, appelé « campagne annuelle ». Par construction, l'inventaire combine les estimations issues de cinq échantillons successifs pour produire les chiffres de référence. Cette combinaison prend la forme d'une simple moyenne arithmétique des estimations, et des erreurs : la variance des estimations combinées est estimée comme la moyenne arithmétique des variances des estimations annuelles des cinq dernières années. Les efforts sont donc ici orientés sur l'échantillonnage annuel et l'inférence associée.

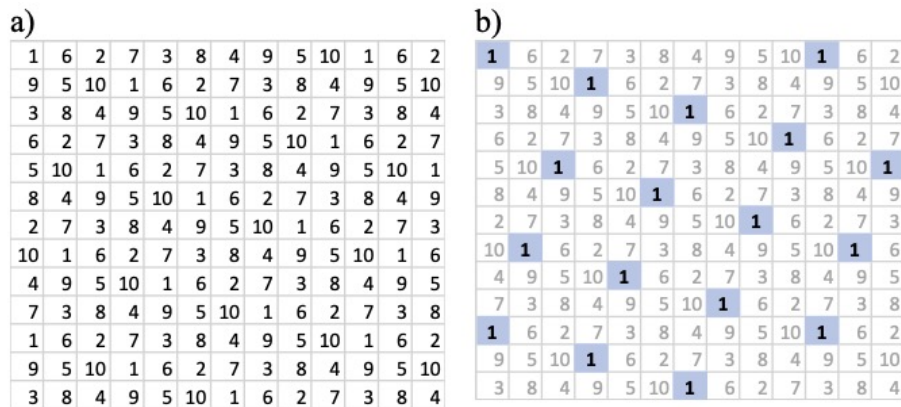
## 3 L'échantillonnage

L'échantillonnage est conçu pour répondre aux objectifs de double enquête (des surfaces et des arbres), et pour permettre d'estimer à la fois un état au moment de l'inventaire, et des flux. Les échantillons annuels sont tirés à partir d'une méthode n'ayant pas subi de changement majeur depuis sa mise en place en 2004. Une grille systématique à maille carrée de  $1 \times 1$  km sert de base de sondage dont sont issus tous les échantillons.

### 3.1 Maillage et échantillonnage annuel. Propriétés interannuelles

A chaque maille de  $1 \times 1$  km est associée une année d'échantillonnage, de sorte que chaque année possède une fraction constante (approximativement) de mailles, elles aussi disposées de manière systématique dans l'espace.

Lors de sa construction, l'origine et l'orientation de la grille ainsi que la taille des mailles ont été tirés ou déterminés simultanément. La grille originelle (construite en 2003) était décennale, c'est-à-dire conçue pour une périodicité de 10 ans au terme desquels toutes les mailles devaient avoir été visitées. Un algorithme mathématique développé par Jean



**Figure 1** – Représentation du pavage de mailles recouvrant tout le territoire (a) et fractionné en sous-ensembles annuels systématiques ; (b) : fraction annuelle de l’année 1.

Wolsack permet d’attribuer une année de tirage à chaque maille, compte tenu d’une périodicité. Ces attributions sont effectuées une seule fois et simultanément pour toutes les mailles et ne dépendent que des coordonnées le long des deux axes qui soutiennent la grille carrée. La grille définit des fractions annuelles de manière strictement systématique spatialement, et sans aucune randomisation autre que celle associée à la définition initiale de la grille.

En 2010, la grille a été fractionnée en deux sous-ensembles quinquennaux, de sorte qu’un échantillon annuel, un ensemble de 5 échantillons annuels successifs, et un ensemble de 10 échantillons annuels successifs couvrent le territoire de façon encore systématique.

### 3.2 Un échantillonnage annuel en deux phases

Le tirage s’effectue exclusivement dans la base de sondage que constitue la fraction annuelle en cours dans la grille (ex. Figure 1b), c’est-à-dire dans la sous-population de mailles réparties de manière systématique spatialement et strictement disjointes. Par construction, la couverture des mailles représente environ un dixième de la surface du territoire. En conséquence, les 9 dixièmes du territoire ne peuvent pas être échantillonnés une année donnée.

Lors de la construction de l’échantillon de première phase, un point unique est tiré dans chaque maille et le type de couverture/utilisation du sol par photo-interprétation est observé sur chacun de ces points. Le point tiré dans chaque maille a des coordonnées géographiques aléatoires au sein de la maille. La procédure de transition d’un échantillon de mailles à un échantillon de points n’est toutefois pas considérée comme un degré d’échantillonnage. Il s’agit d’une randomisation géographique (Cochran 1977, page 184, « unaligned systematic sampling » ou échantillonnage systématique non aligné), qui a pu avoir comme fin d’amoinrir les risques de coïncidence entre des formes de relief ou des limites de forêt d’une part, et les lignes directrices de la grille<sup>1</sup>. L’aspect de

1. Aux mêmes fins, l’échantillonnage dans l’inventaire forestier américain s’appuie sur une tessellation hexagonale du territoire.



structure spatiale au sens des variables régionalisées n'est pas négligé, et pourrait avoir contribué à ce souci de découplage spatial, bien qu'aucune étude n'ait jamais été menée pour rechercher une covariance à cette échelle spatiale (typiquement,  $10^{1/2} \approx 3.16$  km entre points en première phase).

L'échantillon de seconde phase est constitué par une fraction de l'échantillon de première phase, en vue d'une visite sur le terrain après introduction d'un support d'échantillonnage (la « placette »), par exemple pour la mesure des arbres (dans le jargon forestier, ces points sont « levés »). Chaque point permet d'enquêter les arbres situés dans la placette centrée sur ce point.

**Table 1** – Taux de tirage des points de deuxième phase en fonction de la catégorie d'occupation et d'utilisation du sol

Catégorie d'utilisation du sol (résultat de la phase 1)	Taux d'échantillonnage
Non forêt	100% <sup>2</sup>
Forêt fermée	50%
Forêt ouverte	50%
Landes	25%
Bosquets <sup>3</sup>	50%

La forêt ouverte est caractérisée par un couvert boisé compris entre 10 et 40% de la surface considérée. Le taux d'échantillonnage des points pour la deuxième phase dépend de la modalité de la variable au point comme ce serait le cas dans une stratification, conférant un caractère **d'échantillonnage à probabilités inégales** à l'échantillonnage de deuxième phase. Les effectifs associés à ces deux phases sont très différents, les ordres de grandeur étant de 55,000 points pour la première phase et de 6,000 à 8,000 pour la deuxième phase.

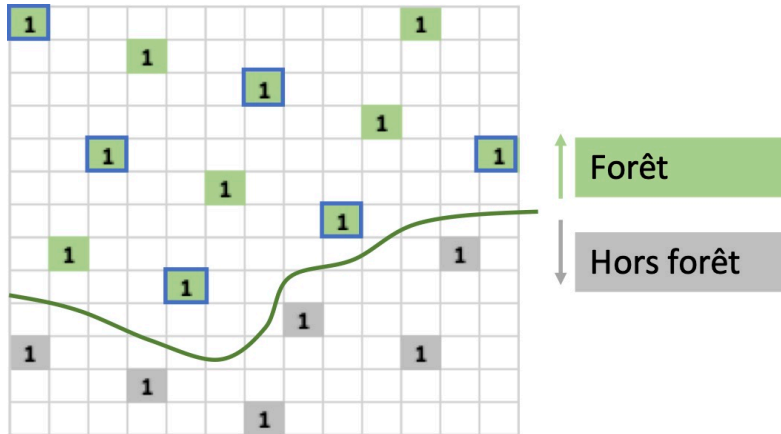
Le sous-échantillon est tiré en s'appuyant sur la maille, avec un taux variable selon la catégorie de végétation (mais fixe au sein du domaine d'échantillonnage) comme présenté dans le tableau 1. Le taux peut être ajusté et être inférieur au taux maximum une année donnée, mais cela ne change rien aux estimations.

Un taux d'échantillonnage de 50% signifie par exemple que la moitié des points de l'échantillon de première phase de la catégorie Forêt fermée seront intégrés dans l'échantillon de deuxième phase.

Ce taux est obtenu en se basant sur les propriétés homothétiques de la grille de sondage (Figure 3), qui permettent de retenir une fraction des points (ou des mailles) toujours répartie systématiquement et formant toujours des carrés : ces sous-ensembles, bien décrits dans les documents existants sont appelés « niveaux », et définissent des échantillons dont la taille successive est dans un rapport constant de 2. Passer d'un ni-

2. 100%, non pas 0%, au sens où la totalité des points de cette catégorie sont versés dans l'échantillon final de phase 2. Ces points ne font pas l'objet d'une mesure mais contribuent au calcul des proportions recouvertes par les sous-domaines, cf § 6.3.

3. Les bosquets, définis par une surface comprise entre 0.05 et 0.5 ha, ne font en toute rigueur pas partie intégrante du domaine d'intérêt, issu de la définition internationale de la forêt, adoptée par l'inventaire en 2005. Toutefois, selon le maintien d'un usage ancien (antérieur à 2005), ils ont continué à être échantillonnés à partir de 2005. Ils représentent environ 100,000 ha.



**Figure 2** – Illustration du sous-échantillonnage de deuxième phase appuyé sur le pavage de maille.

Le schéma représente une fraction annuelle donnée, dont les points photo-interprétés tombent soit en forêt (en vert) soit en dehors (en gris). Les points sous-échantillonnés pour faire partie de l'échantillon de phase 2 sont entourés en bleu (taux de 50% dans l'exemple).

veau à un autre impose de diviser par deux le nombre de points.

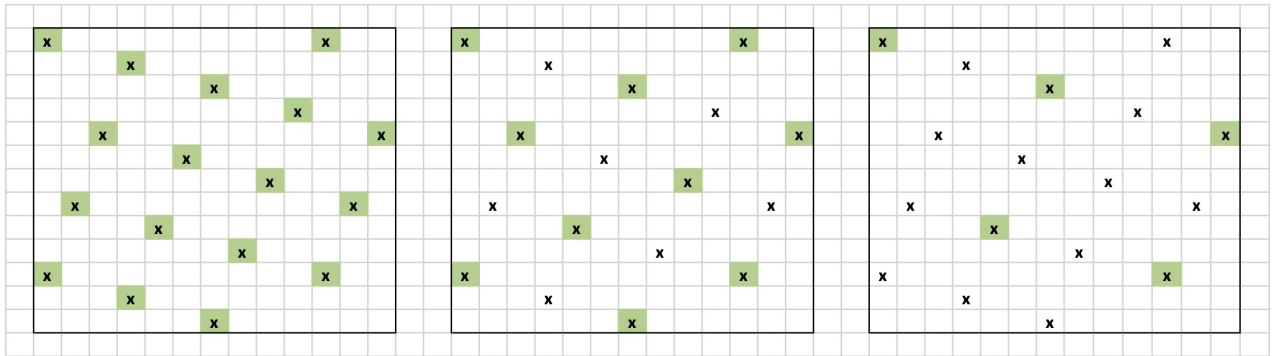
**L'échantillon de seconde phase résulte donc d'un tirage aléatoire systématique de l'échantillon de première phase, avec une taille qui s'en déduit selon la modalité de couverture et utilisation du sol, c'est-à-dire finalement d'un échantillonnage systématique aléatoire.**

### 3.3 Définition de « post-strates »

Jusqu'ici on pourrait avoir un échantillonnage assez classique et donc des estimateurs classiques en deux phases pour stratification. Mais il est sans doute apparu rapidement que les tirages annuels de l'échantillon de deuxième phase résultaient dans un nombre de points localement assez faible, et que cela poserait des problèmes d'estimations et surtout d'inférence (calcul des erreurs). Il a alors été décidé de procéder à des regroupements des catégories utilisées pour les tirages (forêt fermée, forêt ouverte, etc.). Ces regroupements forment les post-strates.

Le détail de l'algorithme ne sera pas présenté ici, car il n'a pas en soi de fondement statistique et il semble même que cet algorithme, qui avait pour mission principale de constituer des strates contenant au moins 10 points de deuxième phase, ne converge pas dans un très grand nombre de situations résultant dans des post-strates de très petite taille. Ce qui importe pour les estimations c'est que le regroupement résulte dans l'assemblage, dans une même post-strate, de points de deuxième phase ayant été tirés avec des taux différents. En découplant le tirage de l'estimation, on constitue des strates regroupant des points ayant des poids inégaux, par exemple en formant une strate groupant forêt ouverte (taux de 50%) et landes (taux de 25%).

Ainsi, l'échantillonnage est un échantillonnage à probabilités inégales. Cette caractéristique



**Figure 3 – Niveaux d’échantillonnage emboîtés :** à gauche, le niveau 1 est l’ensemble des mailles de la fraction annuelle, au milieu le niveau 2 représente un sous-échantillon de 50% de l’effectif de points, le niveau 3 à droite divise à nouveau par deux le nombre de points tout en gardant les propriétés d’équidistance et de couverture spatialement systématique.

est majeure et différencie tout à fait l’échantillonnage et les estimations de l’IFN français de ceux des autres inventaires dans le monde, parce que le taux de tirage de la deuxième phase n’est pas constant au sein des post-strates. A priori, il s’agit d’un avantage et la possibilité de faire des regroupements donne à l’enquête une capacité d’adaptation intéressante même si cela complique le développement des estimateurs. Des strates regroupant des points de poids égaux est un cas particulier de cette formalisation plus générale.

## 4 Estimations : post-stratification, estimateurs

### 4.1 Échantillonnage d’une population continue et articulation entre la population de surfaces et celle d’arbres

La population d’arbres qui forme la population cible est finie, discrète, mais non localisée car dynamique et de position géographique inconnue. Le nombre total d’arbres est inconnu, et ne peut sans doute pas être connu. Il est clair qu’on ne peut mesurer des attributs que sur une fraction restreinte de ces arbres, et donc ici la notion d’échantillon d’arbres et son besoin apparaissent d’eux-mêmes. Mais ne connaissant ni le nombre ni la position des arbres, les échantillonner ne peut se faire à l’aide d’une base de sondage. Pourtant, l’estimation statistique a besoin d’un plan de sélection aléatoire de ces arbres dans lequel les probabilités de sélection sont non nulles (tous les arbres ont une chance de faire partie de l’échantillon) et calculables. L’absence d’information sur la population ne permet pas de calculer ces probabilités ni les taux d’échantillonnage. Pour résoudre ce problème, les inventaires forestiers ont fait appel à une fonction décrivant la **densité spatiale moyenne** des attributs (Mandallaz 1991), dont les principes sont décrits ci-dessous.

Cette approche est appelée **approche de population infinie**. Tirer un point dans une maille, ou plus généralement un point dans un domaine, c’est choisir un point dans une

population infinie. Le taux d'échantillonnage n'est pas calculable. On note que ici, la population alors devient la population de points du domaine (en fait d'après Mandallaz 1991, on considère plutôt la projection plane du domaine inventorié sur  $R^2$  de surface connue  $A_D$ ). On lui substitue alors l'estimation de la probabilité de tirage définie par l'inverse de la surface du domaine dans lequel il est tiré.

La probabilité d'inclusion d'un point donné  $x$  dans le plan  $D$  est  $f(x) = 1/A_D$ ,  $f(x)$  représentant la densité de probabilité affectée à chaque point (uniforme ici). Tous les points ont la même probabilité de tirage, comme c'est le cas ici pour une région donnée (propriété intéressante du tirage systématique!), de sorte que  $f(x) = \text{constante}$ .

#### 4.1.1 Densité spatiale moyenne

Le calcul de valeurs totales sur un territoire donné implique l'utilisation d'une **densité spatiale moyenne** du paramètre étudié sur ce territoire. La difficulté principale repose sur le fait que la moyenne est estimée sur un échantillon pour lequel on ne peut pas calculer le taux d'échantillonnage.

On s'intéresse à un paramètre  $y$  de la population, continu dans l'espace à deux dimensions  $R^2$  de surface connue  $A_D$  (et qui correspond en pratique à la projection plane du territoire). Si on mesurait la valeur de  $y$  en tout point  $x$  de  $D$ , le total de  $y$  sur  $AD$  serait

$$\tau_y = \iint_D y(x).dx$$

Conséquent, la densité spatiale moyenne de  $y$  s'écrit

$$\bar{y} = \frac{1}{A_D} \iint_D y(x).dx$$

Pour les variables continues, on utilise plus volontiers la fonction de densité notée  $\rho$  (cf. Gregoire and Valentine [2007]) :

$$\tau_\rho = \int_{A_D} \rho(x).dx$$

Mais, on ne peut évidemment pas mesurer  $y$  ou  $\rho$  en tout point du territoire (il existe une infinité de points  $x$  dans  $A_D$ !). Alors, conformément à la théorie de la méthode de population infinie, le passage d'une population continue à une population discrète se fait par le principe dit de dualité, qui remplace ou approche la densité moyenne par une estimation basée sur un échantillon discret et fini (Stevens JR and Urquhart [2000]). La densité spatiale moyenne est alors estimée à base d'un échantillon de taille  $n$ , telle que

$$\hat{y} = \frac{1}{A_D} \sum_{i=1}^n y_i$$

Dit simplement, on approche la densité spatiale moyenne par un calcul de moyenne empirique basée sur un nombre de points tirés dans le domaine. C'est cette approximation (d'une densité spatiale moyenne par une densité spatiale moyenne estimée sur une

échantillon restreint de points) qui est appelée “Crude Monte Carlo”. Mandallaz (1991) le présente dans le théorème 3.1, disant que « calculer une somme d’éléments discrets d’une population finie est équivalent à intégrer une fonction sur un domaine, c’est à dire sur un continuum ».

Dans l’approche mise en place, les points des échantillons sont plutôt « injectés » que réellement « tirés » dans  $D$ , en ce sens qu’on ignore volontairement la population infinie de laquelle ils sont issus, et la structure de l’échantillon, qui est systématique spatialement, et qui interdit tout à fait la superposition de points conduisant ainsi à la nullité de toutes les probabilités conjointes de tirage.

## 4.2 La méthode de partage des poids

Proposée par Guillaume Chauvet dans le cadre de l’échantillonnage de l’IFN, la méthode de partage des poids donne un cadre théorique à une opération réalisée implicitement par les inventaristes forestiers en reconnaissant explicitement l’existence de deux populations. Le principe de la méthode est de transférer les poids de tirage d’unités d’une population pour lesquels ils sont connus à des unités pour lesquels ils ne le sont pas, mais qui sont associées aux unités de la première population.

L’association entre les unités des deux populations doit être parfaitement connue, et les unités dont le cadre d’échantillonnage n’est pas connu doivent être associées à au moins une des unités de la population pour laquelle le cadre est connu.

Dans le cas de l’IFN, les unités cibles, les arbres, n’ont pas un cadre d’échantillonnage connu, vu que l’on ne connaît ni leur nombre ni leur localisation. La population de placettes devient donc celle que l’on peut échantillonner de manière probabiliste et devient de fait la population d’unités parentes. Cette méthode permet ainsi de transférer le poids d’échantillonnage des placettes aux arbres, et le poids des arbres dans les placettes (concentriques) sera pris en compte dans l’estimation de valeurs totales niveau placette. Un article est en cours de rédaction sur ce sujet (G. Chauvet, O. Bouriaud, P. Brion).

On constitue l’échantillon  $Y_1$  de taille  $N_1$  dans  $D$ , l’indice 1 signifiant qu’on se positionne dans la première phase. L’objet de l’échantillonnage est d’estimer les proportions de  $k$  catégories de surfaces (utilisation et couverture du sol) dans  $D$ .

Soit  $y_{1i}(l)$  la valeur de l’attribut  $y$  pour un point quelconque  $i$  de  $N_1$ , tel que  $y_{1i}(l) = 1$  dans  $l$ , 0 sinon. Typiquement,  $l$  est l’indicateur de la présence de la forêt et  $y_{1i}(l)$  représente l’issue d’une photo-interprétation sur l’unité d’échantillonnage (le point)  $i$ . Alors on peut définir le vecteur des proportions empiriques  $P$  dans  $D$  (Fattorini et al. 2009) :  $P = t \in [P_1, \dots, P_k]$  où pour tout  $l \in [1, \dots, k]$ ,

$$P_l = 1/N_1 \sum_{i=1}^{N_1} y_{1i}(l)$$

Puisque  $1/N_1 \sum_{i=1}^{N_1} y_{1i} = 1$ ,

$$\frac{P_l}{1} = \frac{P_l A_D}{A_D} = \frac{A_l}{A_D}$$

Le vecteur  $P$  est un **estimateur de la proportion de la surface** des  $k$  catégories

(modalités d'utilisation et couverture du sol) tel que

$$\hat{P}_l = \frac{A_l}{A_D}$$

Les proportions de points tombant dans chaque catégorie sont donc des estimateurs des proportions des surfaces de chacune de ces catégories.

Selon le principe d'échantillonnage dans une population continue, le poids des points tirés dans D est constant et fixe. On note que, dans le contexte d'un tirage de points sur une grille, le nombre de points tombant dans le domaine pour une taille donnée de grille est une variable aléatoire d'espérance finie et bornée. Autrement dit le poids à un tirage quelconque n'est égal au poids théorique qu'en espérance (Valentine et al. [2009]). On remarquera alors que, tous les points étant tirés à probabilité constante donc égale, la valeur du poids n'est plus nécessaire elle-même !

Cette approche du calcul des paramètres est valable pour les variables cibles liées aux surfaces et aux arbres. Pour les surfaces, la moyenne est une proportion d'une catégorie donnée. Pour les arbres, la moyenne est un volume, une surface terrière ou un nombre d'arbres etc., par catégories.

Par exemple en notant  $y_i$  le volume à l'hectare (donc densité spatiale de volume) du point  $i$ , suivant ce principe le volume total dans D est estimé à partir d'un échantillon de N points tirés dans le domaine :

$$\hat{\tau}_y = A_D \sum_{i=1}^N \frac{y_i}{N}$$

Du fait de l'échantillonnage en deux phases et de la stratification, les moyennes sont calculées sur des strates de calcul de taille inconnue (dans les exemples précédents,  $A_D$  est connu), déterminées lors de la première phase. Le principe fondamental (total = surface  $\times$  moyenne spatiale) reste inchangé.

NB : la notion de surface d'expansion, souvent retrouvée dans des documents d'inventaire, provient d'une réécriture de cet estimateur de total. En effet :

$$\hat{\tau}_y = A_D \sum_{i=1}^N \frac{y_i}{N} = \sum \frac{A_D}{N} y_i$$

soit, en définissant cette surface d'expansion comme  $k_\lambda = \frac{A_D}{N}$ , ici supposée constante entre points,

$$\hat{\tau}_y = \sum_{i=1}^N k_\lambda y_i$$

Il se trouve qu'elle coïncide avec les poids statistiques des points, mais n'a d'intérêt que pour se représenter ceux-ci et ne sauraient s'y substituer dans la formulation des estimateurs. Pour plus de détails on peut aussi se reporter à la section 5.2.

### 4.3 Du rôle de la placette dans la seconde phase

Tout se passe comme si on avait constitué un échantillon de première phase, systématique spatialement, en dehors de toute considération de coordination spatiale liée à la grille.

De cet échantillon systématique est tiré un autre échantillon de points, transformés en placettes sur le terrain dont le centre est centré sur le point. La transformation des points en placettes (i.e., des entités de surface non nulle) est nécessaire à l'échantillonnage des arbres mais impose une certaine réflexion dans le cadre de l'estimation.

Les populations que l'on manipule sont de fait :

- une population d'arbres, de taille inconnue, discrète, finie
- une population de placettes, de taille inconnue, infinie

L'articulation entre la population de placettes et celles des arbres est décrite dans le cadre de la méthode de « partage des poids ».

## 5 Estimation des totaux

Par la suite, on considèrera que tous les paramètres mesurés sur les unités d'échantillonnage peuvent être rapportés à un point (valable pour les deux phases). Les estimateurs ne « manipulent » pas de mailles ni des placettes, seulement des points.

Un choix apparemment ancien de la nouvelle méthode d'inventaire est de réaliser les estimations non pas à l'échelle du territoire en entier, mais au niveau départemental. Dans les documents actuels disponibles, ce choix n'est ni argumenté ni discuté. Les totaux et les erreurs résultent de la somme des valeurs départementales (la variance est cumulative dans le contexte d'un découpage spatial complémentaire sans chevauchement). Ainsi le raisonnement présenté dans ce chapitre porte sur un domaine d'étude correspondant à un département, sans nuire d'ailleurs à la généralité du propos. La surface du domaine est connue sans erreur et ne fait pas l'objet d'un échantillonnage. On notera donc  $A_D$  cette surface, avec une coïncidence entre D comme domaine d'étude et D comme département.

### 5.1 Total d'une variable liée à des proportions de surface

La variable étudiée est ici par exemple la proportion de forêt dans la surface totale, ou tout autre sous-domaine, défini sur chaque point de deuxième phase à l'aide d'une variable catégorielle à deux ou plusieurs modalités. L'estimation du total fait appel à un estimateur en deux phases pour post-stratification, la première phase étant utilisée pour estimer la taille des post-strates, la deuxième phase apportant l'estimation des moyennes de la variable dans chacune des post-strates.

Compte tenu du principe de dualité (assimilation d'une population infinie à une population discrète), l'estimation de la moyenne de la variable  $y$  dans chaque strate est basée sur l'échantillon de deuxième phase.

Mais les points de deuxième phase ont une probabilité d'inclusion inégale, selon l'issue de la photo-interprétation. Ainsi, à chaque point correspond une probabilité d'inclusion donnée, égale à l'inverse de son poids – lequel est noté  $w$ . Les documents existants et les bases de données utilisent plutôt le poids que la probabilité d'inclusion dans la formalisation et le calcul des estimations.

Pour tenir compte des poids variables des points de deuxième phase, la moyenne est une

moyenne pondérée pour tout strate donnée  $h$  :

$$M_{hy} = \frac{\sum_{i=1}^{n_{2h}} w_i y_i}{\sum_{i=1}^{n_{2h}} w_i}$$

où  $n_{2h}$  représente le nombre de points de deuxième phase dans la strate  $h$ .

La notation  $M$  en lieu de  $y$  a pour objet de différencier une moyenne arithmétique simple d'une moyenne pondérée.

Le total de la variable  $y$  dans le domaine résulte de la sommation des totaux sur chaque post-strate, car celles-ci sont complémentaires par construction :

$$\hat{\tau}_y = \sum_{h=1}^H \hat{A}_h M_{hy} = \sum_{h=1}^H \hat{A}_h \left( \frac{\sum_{i=1}^{n_{2h}} w_i y_i}{\sum_{i=1}^{n_{2h}} w_i} \right)$$

où  $H$  est le nombre total de post-strates,  $\hat{A}_h$  la surface (estimée) de chaque post-strate  $h$ .

Cette surface n'est pas connue avant échantillonnage, elle émane des mesures faites sur la première phase, et est donc estimée. Comme présenté plus haut, cette estimation de surfaces se base sur la proportion de points de phase 1 tombant dans chacune des post-strates, les proportions de points étant des estimateurs des proportions de surfaces. En notant  $n_1$  le nombre total de points de phase 1, et  $n_{1h}$  le nombre de points tombant dans la strate  $h$ , on a :

$$\hat{\tau}_y = A_D \sum_{h=1}^H \frac{n_{1h}}{n_1} \frac{\sum_{i=1}^{n_{2h}} w_i y_i}{\sum_{i=1}^{n_{2h}} w_i}$$

Cette formule est tout à fait centrale dans l'IFN, et résume la philosophie de l'estimation en deux phases avec post-stratification avec poids variables en deuxième phase.

## 5.2 Total d'une variable liée aux arbres

Cette fois  $y$  est un attribut de la population des arbres, par exemple le volume. Le volume de tous les arbres de la placette est sommé et rapporté à l'hectare, le transformant en une variable continue spatialement estimant au point  $x$  correspondant au centre de la placette de terrain à la densité spatiale locale  $y(x)$ . En comparaison de l'estimation de proportions de surfaces, les estimations reposent sur une étape supplémentaire, sorte d'héritage de « l'ancienne méthode » qui avait trois phases. Ces trois phases correspondaient à

- la photo-interprétation ;
- la phase dite de reconnaissance dans laquelle les points terrain sont classés dans des catégories d'utilisation et couverture du sol (d'où les possibles reclassements) ;
- les points terrain levés, chaque phase ayant un nombre décroissant de points

Dans la « nouvelle méthode » à base de l'échantillon de deuxième phase dans la strate  $h$  ( $s_{2h}$ ), on estime successivement :

- la proportion de la surface couverte par une catégorie spécifique  $k$ , observée exclusivement sur l'échantillon de deuxième phase et qui définit un sous-domaine (forme



de troisième phase, puisque selon la partition opérable à partir de ce facteur, un sous-ensemble de l'échantillon de phase 2 sert de support à l'estimation). Un tel sous-domaine est par exemple, soit la forêt, soit une catégorie spécifique comme la hêtraie (au sens de la surface localement dominée par une essence, sans référence à la population d'arbres, il s'agit ici de taux de couverts).

- la moyenne de l'attribut  $y$  dans le sous-domaine (et seulement dans le sous-domaine). Deux moyennes sont ainsi calculées : une proportion moyenne (indiquée 2 pour 2<sup>ème</sup> phase et la distinguer de la proportion donnant la taille de la post-strate), et la moyenne pondérée de l'attribut :

$$\hat{\tau}_y = A_D \sum_{h=1}^H \frac{n_{1h}}{n_{1T}} \left\{ \left( \frac{\sum_{i \in s_{2h}} w_i I_i(k)}{\sum_{i \in s_{2h}} w_i} \right) \left( \frac{\sum_{i \in (s_{2h} \cap k)} w_i I_i(k) y_i}{\sum_{i \in (s_{2h} \cap k)} w_i} \right) \right\} = A_D \sum_{h=1}^H \frac{n_{1h}}{n_{1T}} \hat{P}_{2hk} M_{hk}(y)$$

où

$$\hat{P}_{2hk} = \frac{\sum_{i \in s_{2h}} w_i I_i(k)}{\sum_{i \in s_{2h}} w_i}$$

est la proportion moyenne du sous-domaine  $k$  dans la post-strate  $h$ , calculée comme la moyenne pondérée de l'indicatrice d'appartenance au sous-domaine  $k$ ,  $I(k)$  ; et

$$M_{hk}(y) = \frac{\sum_{i \in (s_{2h} \cap k)} w_i y_i}{\sum_{i \in (s_{2h} \cap k)} w_i}$$

est la moyenne de  $y$  dans le sous-domaine  $k$  et la post-strate  $h$ , estimée exclusivement sur le sous-ensemble de points de deuxième phase appartenant à  $k$ .

Cette moyenne pourrait être indiquée 2 aussi car basée exclusivement sur les points de deuxième phase, mais cela alourdi les notations.

On vérifie que  $(s_{2h} \cap k) \subseteq s_{2h}$  avec égalité possible dans certaines situations probablement assez rares. Plus le domaine est spécifique, plus l'écart d'effectif de points augmente.

**En quoi est-ce différent des autres inventaires ?** Dans les autres inventaires, la moyenne de l'attribut est estimée sur tout l'échantillon de deuxième phase, qu'il soit dans le sous-domaine ou non. Ici on ne considère que les points tombant dans le sous-domaine (défini par la catégorie  $k$ ). L'effectif de points utilisé pour la moyenne est donc plus petit  $(s_{2h} \cap k) \subseteq s_{2h}$ , mais **il ne contient plus les valeurs nulles propres aux échantillons incluant des points en-dehors du sous-domaine**. Il s'agit de fait d'une post-stratification (*sensu* partition connue après tirage et mesure) qui crée deux post-strates : une post-strate comprenant des valeurs strictement non nulles et une post-strate dans laquelle la valeur de l'attribut  $y$  est toujours nulle (et qui est donc de variance nulle). La taille des post-strates est estimée à base de l'estimation de la proportion du sous-domaine sur chacun des points de deuxième phase  $\frac{n_{2hk}}{n_{2h}}$ .

Le cas des estimations dont la ventilation fait intervenir exclusivement des variables mesurées sur les arbres, ou des sous-domaines définis à la fois par un critère de surface (la hêtraie) et un critère d'arbre (par exemple diamètre  $> 50$  cm), est un cas particulier de ces derniers estimateurs qui ne change rien à la logique du calcul.

La taille du sous-domaine repose sur une proportion observée sur tous les points de deuxième phase,  $t$  tandis que la moyenne repose sur la fraction de ces points étant effectivement dans le sous-domaine. Il faut donc envisager deux catégories séparément pour le sous-domaine ( $k_1$ ) et pour le “sous-sous-domaine” arboristique du calcul de la moyenne ( $k_2$ ) dans  $h$  et dans  $k_1$ . On joue donc sur la moyenne, qui n'est calculée que sur la condition  $k_2$  car par construction elle est nulle ailleurs :

$$\hat{P}_{2hk_1} = \frac{\sum_{i \in s_{2h}} w_i I_i(k_1)}{\sum_{i \in s_{2h}} w_i}$$

$$M_{hk_2}(y) = \frac{\sum_{i \in (s_{2h} \cap k_1 \cap k_2)} w_i y_i}{\sum_{i \in (s_{2h} \cap k_1 \cap k_2)} w_i}$$

Dans les notes fournies au CNIS (IFN, 2017), on trouve l'écriture suivante des estimateurs, strictement équivalente (pour le cas particulier où  $k_1 = k_2 = k$ ) :

$$T_f(y) = \sum_k S_k P_{fk} M_{fk}(y)$$

où

$S_k$  est la surface de la strate  $k$

le sous-domaine est noté  $f$

$P_{fk}$  est la proportion de sous-domaine  $f$  dans la strate  $k$

$M_{fk}(y)$  la moyenne (pondérée) de  $y$  dans  $f$  et  $k$

L'utilisation de l'indice  $k$  pour une strate est toutefois assez délicat, la littérature préférant largement utiliser  $h$  pour une strate,  $k$  pour une catégorie et  $f$  pour un taux d'échantillonnage.  $S$  est traditionnellement une variance (ou un écart-type), pas une surface qui est plutôt notée  $A$  (aire, area).

On peut remarquer que cette méthode d'estimation donne aux points de deuxième phase une surface d'extension spécifique et que cette vision est sans doute à l'origine des estimateurs eux-mêmes. En effet, dans un domaine donné, le total d'une variable donnée  $y$  se calcule comme le produit de la surface du domaine ( $A_D$ ) par la moyenne de la densité spatiale dans le domaine (pour l'exemple, prenons un échantillon  $S$  de taille  $N$ ) :

$$\hat{\tau}_y = A_D \bar{y}_D = \sum_{i=1}^N b_i y_i$$

avec  $\bar{y}_D = \frac{1}{N} \sum_{i=1}^N y_i$  et  $b_i = \frac{A_D}{N}$

Cette expression est équivalente à affecter à chaque point  $i$  une surface d'extension, notée  $b_i$ . Cette surface peut être prise comme étant la taille de la maille de la grille servant de support aux points : pour une grille kilométrique chaque point représente 1 km<sup>2</sup>, donc on pourrait calculer le total comme le produit de la moyenne par 1 km<sup>2</sup>. Cette surface serait constante dans le cas de la grille, car systématique.

Dans le cas de l'IFN, cette surface dépend du niveau, et l'on pourrait écrire de manière générique :

$$\forall i, b_i = \frac{A_D}{2^{\text{niveau}(i)}} = A_D 2^{-w_i}$$

constant pour un niveau de grille donné.

En espérance ce n'est pas faux, mais on se rend bien compte que, à niveau constant, le nombre de points tombant dans le domaine varie en fonction de la position de la grille (du point d'ancrage de la grille) et des formes des limites du domaine. Ainsi, comme dit plus haut, le nombre de points tombant dans le domaine est une variable aléatoire elle-même. En conséquence, la surface représentée par les points du domaine, ou leur facteur d'extension réalisé, varie également de manière aléatoire. En tenant compte de la réalisation du tirage et du poids possiblement variable des points, on peut alors écrire :

$$b = \frac{A_D}{\sum_{i \in S} w_i}$$

d'où l'estimation du total :

$$\hat{\tau}_y = \frac{A_D}{\sum_{i=1}^N w_i} \sum_{i=1}^N w_i y_i = A_D \frac{\sum_{i=1}^N w_i y_i}{\sum_{i=1}^N w_i}$$

Ceci permet d'introduire un aspect très important de l'estimation : le nombre de points tombant dans un échantillon est une variable aléatoire, dont la réalisation est le premier résultat du tirage. Plus que le positionnement des points (i.e. aux aspects systématiques spatialement de la grille) on s'intéresse à leur nombre dans le domaine d'estimation et à la somme de leurs poids. Ce caractère aléatoire du nombre de points tombant dans le domaine justifie le conditionnement utilisé pour la construction des estimateurs de variance, ce qui fait la transition avec la section suivante.

## 6 Estimation de la variance, estimation des erreurs

Les erreurs associées aux estimations sont des erreurs d'échantillonnage. Elles sont établies dans le cadre stricte d'une approche à base d'échantillonnage (design based). Cette approche signifie que les valeurs des paramètres observées aux points sont considérées comme fixes, et que seules les probabilités de tirage des points comptent dans la variance de l'estimation. Tous les inventaires forestiers reposent sur ce principe, qui n'est donc pas du tout spécifique à l'inventaire français, pour deux raisons simples : une, cette approche est la seule permettant une additivité sur les sous-domaines et un raisonnement strictement identique quel que soit le paramètre étudié, deux, elle reflète une vision historique du sondage.

### 6.1 Variance de la surface d'un sous-domaine

Pour commencer la présentation des estimateurs de variance, on se place dans un domaine  $D$  de surface connue  $A_D$ . On rappelle ici la forme du total de la surface du sous-domaine  $k$  dans  $D$  :

$$\hat{\tau}_y(k) = A_D \sum_{i=1}^N \frac{n_{1h}}{n_1} \hat{P}_{2hk}$$

qui fait intervenir deux termes :

- le premier est lié à la première phase permet l'estimation de la taille de la post-strate  $h$  dans  $D$ , que l'on peut noter  $P_{1h} = \frac{n_{1h}}{n_1}$  ;
- le deuxième est la proportion moyenne du sous-domaine  $k$  dans les strates et dans  $D$ , issue de la deuxième phase.

La variance du total s'écrit alors :

$$var(\hat{\tau}_y(k)) = var\left(A_D \sum_{h=1}^H \hat{P}_{1h} \hat{P}_{2hk}\right) \quad (1)$$

Dans l'échantillonnage en deux phases pour stratification, la variable cible  $y$  est classifiée en strates dont on ignore les proportions avant enquête. Une variable auxiliaire  $x$  est mesurée sur un échantillon pour obtenir une estimation des proportions de classes.

La population est stratifiée en classes en fonction des valeurs de  $x_i$  mesurées sur un échantillon de première phase de taille  $n'$  (Cochran [195], page 269). La variable cible (paramètre)  $y$  est mesurée sur un échantillon de deuxième phase de taille  $n$ .

Typiquement,  $n \ll n'$ , avec par exemple  $\frac{n}{n'} \propto 1/10$ .

On note :

$h$  : les strates, de 1 à  $H$

$W_h$  :  $N_h/N$  proportion de la population tombant dans la strate  $h$

$w_h$  :  $n'_h/n$  proportion de l'échantillon de phase 1 tombant dans la strate  $h$

### 6.1.1 Estimation

La moyenne de la population pour  $Y$  est

$$\bar{Y} = \sum_{h=1}^H W_h \bar{Y}_h$$

Une estimation de  $\bar{Y}$  est  $\bar{y}_{st}$  telle que

$$\hat{Y} = \bar{y}_{st} = \sum_{h=1}^H w_h \bar{y}_h$$

### 6.1.2 Variance

L'échantillonnage fait intervenir deux variables aléatoires toutes deux sujettes à erreur :  $w_h$  et  $\bar{y}_h$ ,  $w_h$  étant un estimateur de  $W_h$  et  $\bar{y}_h$  un estimateur de  $\bar{Y}_h$ .

Soient  $u_h$  et  $e_h$  les erreurs d'estimation de  $W_h$  et de  $\bar{Y}_h$  respectivement, telles que :

$$\begin{aligned}w_h &= W_h + u_h \\ \bar{y}_h &= \bar{Y}_h + e_h\end{aligned}$$

Alors l'erreur d'estimation de  $\bar{Y}$  est :

$$\begin{aligned}\bar{y}_{st} - \bar{Y} &= \sum_h (w_h \bar{y}_h - W_h \bar{Y}_h) \\ &= \sum_h ((W_h + u_h)(\bar{Y}_h + e_h) - W_h \bar{Y}_h) \\ &= \sum_h (W_h e_h + \bar{Y}_h u_h + u_h e_h)\end{aligned}$$

En ignorant les corrections de la population finie, c'est-à-dire en postulant que  $n'$  est très petit devant  $N$ , et  $n_h$  devant  $N_h$ , la variance de  $\bar{y}_{st}$  peut s'estimer comme (et puisque  $(E(\bar{y}_{st} - \bar{Y}))^2 = 0$ ) :

$$\begin{aligned}Var(\bar{y}_{st}) &= E(\bar{y}_{st} - \bar{Y})^2 = E \left[ \sum_{h=1}^H (W_h e_h + \bar{Y}_h u_h + u_h e_h) \right]^2 \\ &= E \left[ \sum_{h=1}^H (W_h e_h + \bar{Y}_h u_h + u_h e_h)^2 \right] \\ &\quad + 2 \sum_{h=1}^H \sum_{j>h}^H E [(W_h e_h + \bar{Y}_h u_h + u_h e_h) (W_j e_j + \bar{Y}_j u_j + u_j e_j)]\end{aligned}\tag{2}$$

Pour la première partie de (2),

$$\begin{aligned}E \left[ \sum_{h=1}^H (W_h e_h + \bar{Y}_h u_h + u_h e_h)^2 \right] &= V1 = \\ &= E \left[ \sum_{h=1}^H (W_h e_h)^2 + (\bar{Y}_h u_h)^2 + (u_h e_h)^2 \right] + 2E \left[ \sum_{h=1}^H (W_h e_h \bar{Y}_h u_h + W_h u_h e_h^2 + \bar{Y}_h u_h^2 e_h) \right] \\ &= \sum_{h=1}^H E \left\{ (W_h e_h)^2 + (\bar{Y}_h u_h)^2 + (u_h e_h)^2 \right\} + 0\end{aligned}$$

car, grace aux propriétés de l'échantillonnage aléatoire,  $E(u_h) = 0$  et  $E(e_h) = 0$ , et  $u_h$  et  $e_h$  sont indépendants par échantillonnage (Cochran 1953 page 270), ainsi

$$\begin{aligned}E(W_h e_h \bar{Y}_h u_h + W_h u_h e_h^2 + \bar{Y}_h u_h^2 e_h) &= W_h \bar{Y}_h E(e_h) E(u_h) + W_h E(e_h^2) E(u_h) + \bar{Y}_h E(u_h^2) E(e_h) \\ &= W_h \bar{Y}_h \times 0 + W_h E(e_h^2) \times 0 + \bar{Y}_h E(u_h^2) \times 0 = 0\end{aligned}$$

Il resulte donc

$$\begin{aligned}
V1 &= \sum_{h=1}^H \left\{ E((W_h e_h)^2) + E((\bar{Y}_h u_h)^2) + E((u_h e_h)^2) \right\} \\
&= \sum_{h=1}^H \left\{ W_h^2 E(e_h^2) + \bar{Y}_h^2 E(u_h^2) + E(u_h^2) E(e_h^2) \right\} \\
&= \sum_{h=1}^H \left\{ (W_h^2 + E(u_h^2)) E(e_h^2) + \bar{Y}_h^2 E(u_h^2) \right\}
\end{aligned}$$

Or,  $E(u_h^2) = \frac{W_h(1-W_h)}{n'}$  si l'on suppose que les  $w_h$  suivent une loi multinomiale. Par ailleurs,

$$Var(\bar{y}_h) = E(e_h^2) - (E(e_h))^2 = E(e_h^2)$$

car  $E(e_h) = 0$ , d'où

$$V1 = \sum_{h=1}^H \left( W_h^2 + \frac{W_h(1-W_h)}{n'} \right) Var(\bar{y}_h) + \sum_{h=1}^H \bar{Y}_h^2 \frac{W_h(1-W_h)}{n'} \quad (3)$$

Pour la deuxième partie de (2), si l'on considère les tirages indépendants dans chacune des strates, les termes impliquant le produit  $e_h e_j$ ,  $u_h e_j$  ou  $e_h u_j$  sont tous nuls et il ne reste que le terme central  $\bar{Y}_h \bar{Y}_j u_h u_j$  :

$$\begin{aligned}
&2 \sum_{h=1}^H \sum_{j>h}^H E \left[ (W_h e_h + \bar{Y}_h u_h + u_h e_h) (W_j e_j + \bar{Y}_j u_j + u_j e_j) \right] \\
&= 2 \sum_{h=1}^H \sum_{j>h}^H E \left( W_h e_h W_j e_j + W_h e_h \bar{Y}_j u_j + W_h e_h u_j e_j + \bar{Y}_h u_h W_j e_j + \bar{Y}_h u_h \bar{Y}_j u_j + \bar{Y}_h u_h u_j e_j \right. \\
&\quad \left. + u_h e_h W_j e_j + u_h e_h \bar{Y}_j u_j + u_h e_h u_j e_j \right) \\
&= 2 \sum_{h=1}^H \sum_{j>h}^H E(\bar{Y}_h u_h \bar{Y}_j u_j) \\
&= 2 \sum_{h=1}^H \sum_{j>h}^H \bar{Y}_h \bar{Y}_j E(u_h u_j)
\end{aligned}$$

En considérant que les termes d'erreur  $u_h$ ,  $u_j$  suivent une distribution multinomiale,

$$E(u_h u_j) = -\frac{W_h W_j}{n'}$$

d'où

$$2 \sum_{h=1}^H \sum_{j>h}^H \bar{Y}_h \bar{Y}_j E(u_h u_j) = -2 \sum_{h=1}^H \sum_{j>h}^H \bar{Y}_h \bar{Y}_j \frac{W_h W_j}{n'}$$

Ce terme représente la **covariance des estimations des surfaces des post-strates** et provient du fait que les effectifs de première phase dans chaque strate ne peuvent pas être considérés comme indépendants (par leur lien au nombre total, la somme des proportions des strates valant 1 par construction).

$$cov(\hat{P}_{1h}\hat{P}_{2hk}, \hat{P}_{1l}\hat{P}_{2lk}) = \hat{P}_{2hk}\hat{P}_{2lk} cov(\hat{P}_{1h}, \hat{P}_{1l})$$

or,  $cov(A_h, A_l) = cov(A_D P_{1h}, A_D P_{1l}) = -\frac{(\hat{P}_{1h}\hat{P}_{1l})}{n_1} A_D^2$  ou en ne conservant que les proportions,  $\widehat{cov}(\hat{P}_{1h}, \hat{P}_{1l}) = -\frac{\hat{P}_{1h}\hat{P}_{1l}}{n_1-1}$

Ce résultat est classique, il s'agit du terme de covariance entre deux proportions quelconques de deux modalités (h, l) d'une loi multinomiale. Un exemple de démonstration de l'estimation de la covariance est fourni par Tam [1985]. Ici le signe négatif peut s'illustrer aussi comme :

$$cov(A_D \hat{P}_{1h}, A_D \hat{P}_{1l}) = A_D^2 \left( E[\hat{P}_{1h}\hat{P}_{1l}] - E[\hat{P}_{1h}]E[\hat{P}_{1l}] \right) = 0 - A_D^2 E[\hat{P}_{1h}]E[\hat{P}_{1l}]$$

car du fait de leur complémentarité spatiale,  $E[\hat{P}_{1h}, \hat{P}_{1l}] = 0$ .

De même, les variances des surfaces des strates sont binomiales, on retrouve bien le fait que  $var(A_h) = var(A_D P_{1h}) = A_D^2 var(\hat{P}_{1h}) = A_D^2 \frac{\hat{P}_{1h}(1-\hat{P}_{1h})}{n_1} = cov(A_h, A_h)$ .

On retrouve ces mêmes covariances chez Little [1993], et Valentine et al. [2009] toujours négatives (intuitivement, cela se comprend bien, une augmentation d'effectif dans une strate  $h$  ne pouvant correspondre en espérance qu'à une baisse dans une autre modalité  $l$ , à effort d'échantillonnage fixé).

Finalement, en regroupant les deux termes de (2), la variance de la moyenne post-stratifiée s'écrit donc :

$$Var(\bar{y}_{st}) = \sum_{h=1}^H \left( W_h^2 + \frac{W_h(1-W_h)}{n'} \right) Var(\bar{y}_h) + \sum_{h=1}^H \bar{Y}_h^2 \frac{W_h(1-W_h)}{n'} - 2 \sum_{h=1}^H \sum_{j>h}^H \bar{Y}_h \bar{Y}_j \frac{W_h W_j}{n'} \quad (4)$$

Si l'on remplace  $\frac{W_h(1-W_h)}{n'}$  par  $Var(w_h)$ , cette équation (4) on trouve :

$$Var(\bar{y}_{st}) = \sum_{h=1}^H (W_h^2 + Var(w_h)) Var(\bar{y}_h) + \sum_{h=1}^H \bar{Y}_h^2 Var(w_h) - 2 \sum_{h=1}^H \sum_{j>h}^H \bar{Y}_h \bar{Y}_j \frac{W_h W_j}{n'} \quad (5)$$

et en remplaçant  $W_h$  par son estimation  $P_{1h}$  issue de la première phase (ici on peut mettre  $\hat{P}_{1h}$  en fait) :

$$Var(\bar{y}_{st}) \simeq \sum_{h=1}^H \left( \hat{P}_{1h}^2 + Var(\hat{P}_{1h}) \right) Var(\bar{y}_h) + \sum_{h=1}^H \bar{Y}_h^2 Var(\hat{P}_{1h}) - 2 \sum_{h=1}^H \sum_{j>h}^H \bar{Y}_h \bar{Y}_j Cov(\hat{P}_{1h}, \hat{P}_{1j}) \quad (6)$$

Encore un peu de transformations basées sur la note de spécification :

**Notation.** SomStrat.X2(#) indique la sommation sur l'ensemble des K2 couples de strates, c'est-à-dire la somme sur les indices k et l variant chacun de 1 à K, indépendamment de l'autre (y compris les couples formés avec la même strate, c'est-à-dire les cas l = k). Ceci évite ci-dessous le recours à une notation matricielle des calculs.

Par ailleurs, dans la notation de Jean-Christophe Hervé, les covariances sont négatives et le dénominateur réduit d'un degré de liberté, c'est-à-dire,

$$Cov(\hat{P}_{1h}, \hat{P}_{1j}) = \frac{-\hat{P}_{1h}\hat{P}_{1j}}{n' - 1}$$

$$\begin{aligned} -2 \sum_{h=1}^H \sum_{j>h}^H \bar{Y}_h \bar{Y}_j Cov(\hat{P}_{1h}, \hat{P}_{1j}) &= \sum_{h=1}^H \sum_{j \neq h}^H \bar{Y}_h \bar{Y}_j Cov(\hat{P}_{1h}, \hat{P}_{1j}) \\ &= \sum_{h=1}^H \sum_{j=1}^H \bar{Y}_h \bar{Y}_j Cov(\hat{P}_{1h}, \hat{P}_{1j}) - \sum_{h=1}^H \bar{Y}_h \bar{Y}_h Cov(\hat{P}_{1h}, \hat{P}_{1h}) \\ &= \sum_{h=1}^H \sum_{j=1}^H \bar{Y}_h \bar{Y}_j Cov(\hat{P}_{1h}, \hat{P}_{1j}) - \sum_{h=1}^H \bar{Y}_h^2 Var(\hat{P}_{1h}) \end{aligned}$$

On remplace dans (6), et on obtient

$$Var(\bar{y}_{st}) = \sum_{h=1}^H \left( \hat{P}_{1h}^2 + Var(\hat{P}_{1h}) \right) Var(y_h) + \sum_{h=1}^H \sum_{j=1}^H \bar{Y}_h \bar{Y}_j Cov(\hat{P}_{1h}, \hat{P}_{1j}) \quad (7)$$

En conclusion, en se basant sur cette démonstration<sup>2</sup>, l'estimateur de la variance pour un sous-domaine donné  $k$  (Eq. 10) vaut :

$$\begin{aligned} var \left( \sum_{h=1}^H \hat{P}_{1h} \hat{P}_{2hk} \right) &= \sum_{h=1}^H \left( \hat{P}_{1h}^2 + var(\hat{P}_{1h}) \right) \left( \frac{\hat{P}_{2hk}(1 - \hat{P}_{2hk})}{n_{2h} - 1} \right) \\ &\quad + \sum_{h=1}^H \sum_{l=1}^H \hat{P}_{2hk} \hat{P}_{2lk} Cov(\hat{P}_{1h}, \hat{P}_{1l}) \end{aligned} \quad (8)$$

car dans (10),  $y_h$  est l'estimateur de la proportion du sous-domaine  $P_{2hk}$ , soit  $\hat{P}_{2hk}$ . La variance de l'estimation d'une surface est ainsi la somme de deux termes, le premier étant nommé **variance de sous-domaine**, le deuxième la **variance de stratification**. Cet estimateur intègre ainsi les deux sources de variance que sont i) la variance spatiale d'échantillonnage du sous-domaine, et ii) l'erreur d'estimation des surfaces des strates qui est due à la post-stratification, et qui est liée à la première phase d'échantillonnage.

---

2. Une démonstration alternative basée sur le conditionnement est proposée dans l'annexe A



## 6.2 Les effectifs équivalents d'équiprobables

Dans toutes les formules précédentes les moyennes sont, de manière non spécifiques, des moyennes arithmétiques. Mais les points de deuxième phase n'ont pas tous le même poids, et  $\hat{P}_{2hk}$  est en fait une moyenne pondérée. On substitue alors aux effectifs de points de deuxième phase  $n_{2h}$  un terme qui tient compte de l'existence de poids variables entre unités d'échantillonnage dans le domaine, selon une quantité synthétique dénommée « effectifs équivalents d'équiprobables » et qui n'est expliqué ni justifié dans aucun document.

Leur définition dans les notes de spécification des estimateurs est in extenso la suivante :

« Pour une partie quelconque de l'échantillon, on appelle effectif équivalent d'équiprobables, et on note généralement  $neq$ , la quantité :

$$neq = \frac{(\sum_i w_i)^2}{\sum_i w_i^2}$$

pour des points  $i$  appartenant à l'échantillon considéré [lequel est toujours de deuxième phase]. » (Hervé 2006, 2007)

On pourrait appeler plus explicitement  $neq$  des « poids quadratiques moyens inverses ». Ces quantités trouvent leur origine dans l'utilisation de poids variables dans l'échantillon de deuxième phase (S2) et n'ont pour objet que de simplifier la notation et l'implémentation des calculs de variance.

Soit la  $M_y$  la moyenne pondérée d'un attribut  $y$  dans S2, où  $w_i$  est le poids de l'unité  $i$  dans S2, et soit  $s^2$  l'estimation sur S2 de la variance de  $x$  :

$$E(s^2) = \frac{1}{\sum_{i \in S_2} w_i} \sum_{i \in S_2} w_i E(y_i - M_y)^2 = s^2 - 2s^2 \frac{\sum_i w_i^2}{(\sum_i w_i)^2} + var(M_y)$$

or,  $var(M_y) = \frac{\sum_i w_i^2}{(\sum_i w_i)^2} var(y)$ , soit encore

$$\widehat{var}(\hat{M}_y) = \frac{\sum_i w_i^2}{(\sum_i w_i)^2} s^2 = \frac{s^2}{neq}$$

Cela permet donc d'écrire simplement la variance de la moyenne en fonction de la variance empirique  $s^2$

$$E(s^2) = s^2 \left( 1 - \frac{\sum_i w_i^2}{(\sum_i w_i)^2} \right) = s^2 \left( 1 - \frac{1}{neq} \right) = s^2 \left( \frac{neq - 1}{neq} \right)$$

## 6.3 Variance d'un total d'une variable arbre niveau point

Le total de  $y$ , attribut d'intérêt dans  $D \supset k$  est le produit de trois termes :

$$\hat{\tau}_y = A_D \sum_{h=1}^H \hat{P}_{1h} \hat{P}_{2hk} M_{hk}(y)$$

Par rapport à l'estimation d'une surface il fait intervenir en plus la moyenne de l'attribut  $y$  dans la catégorie  $k$  de sous-domaine (portion du domaine, sous-élément de la strate  $h$ )  $M_{hk}(y)$ , estimée à base des points  $i$  de l'échantillon S2 dans  $k$  et 0 pour lesquels  $y$  est non nul. La moyenne  $M_{hk}$  n'est a priori et en général pas issue du même nombre de points que la proportion du sous-domaine, et est par construction nulle en dehors du sous-domaine. En parfaite analogie avec l'estimation de la variance de la surface d'un sous-domaine, la variance du total dans sous-domaine est estimée comme :

$$var(\hat{P}_{1h}\hat{P}_{2hk}M_{hk}|n_{1h}) = \left(\hat{P}_{1h}^2 + var(\hat{P}_{1h})\right) var(\hat{P}_{2hk}M_{hk})$$

ici  $\hat{P}_{2hk}$  est la proportion de sous-domaine, qui remplace la proportion de la strate dans le domaine. L'objet est ici d'estimer la variance de la moyenne  $var(\hat{P}_{2hk}M_{hk})$ .

Son estimation fait appel à un *conditionnement par les effectifs de deuxième phase* :

$$var(\hat{P}_{2hk}) = E \left\{ var(\hat{P}_{2hk}M_{hk}|n_{2h}) \right\} + var \left\{ E(\hat{P}_{2hk}M_{hk}|n_{2h}) \right\} = V_{21} + V_{22}$$

Pour le premier terme, comme  $\hat{P}_{2hk} = \frac{n_{2hk}}{n_{2h}}$

$$V_{21} = E \left\{ var(\hat{P}_{2hk}M_{hk}|n_{2h}) \right\} = E \left\{ \hat{P}_{2hk}^2 var(M_{hk}|n_{2h}) \right\} = \hat{P}_{2hk}^2 var(M_{hk}|n_{2h})$$

Pour le deuxième terme la loi de la variance totale donne à nouveau deux termes que l'on traite successivement :

$$\begin{aligned} V_{22} &= var \left\{ E(\hat{P}_{2hk}M_{hk}|n_{2h}) \right\} \\ &= E \left\{ var(E(\hat{P}_{2hk}M_{hk}|n_{2h})|n_{2h}) \right\} + var \left\{ E(E(\hat{P}_{2hk}M_{hk}|n_{2h})|n_{2h}) \right\} = v_{221} + v_{222} \end{aligned}$$

$$v_{221} = E \left\{ var \left( E(\hat{P}_{2hk}M_{hk}|n_{2h})|n_{2h} \right) \right\} = E \left\{ M_{hk}^2 var(\hat{P}_{2hk}|n_{2h}) \right\} = M_{hk}^2 var(\hat{P}_{2hk})$$

car  $E(M_{hk}|n_{2h})$  est une constante conditionnellement à  $n_{2h}$ , donc  $var(E(M_{hk}|n_{2h})) = 0$ .

$$v_{222} = var \left\{ E(\hat{P}_{2hk}M_{hk}|n_{2h}) \right\} = var \left\{ E(\hat{P}_{2hk})E(M_{hk}|n_{2h}) \right\} = var(\hat{P}_{2hk}) var(M_{hk}|n_{2h})$$

En sommant les trois termes,  $V_{21}$ ,  $V_{221}$  et  $V_{222}$ , et en factorisant on obtient :

$$\begin{aligned} var(\hat{P}_{2hk}M_{hk}|n_{2h}) &= \hat{P}_{2hk}^2 var(M_{hk}|n_{2h}) + M_{hk}^2 var(\hat{P}_{2hk}) + var(\hat{P}_{2hk}) var(M_{hk}|n_{2h}) \\ &= (\hat{P}_{2hk}^2 + var(\hat{P}_{2hk})) var(M_{hk}|n_{2h}) + M_{hk}^2 var(\hat{P}_{2hk}) \end{aligned}$$

En remplaçant  $var(\hat{P}_{2hk})$  par  $var(\hat{P}_{2hk}M_{hk}|n_{2h})$  dans (8) et en adaptant les termes de covariance  $\hat{P}_{2hk}$  devient  $\hat{P}_{2hk}M_{hk}$  on a :

$$\begin{aligned}
\text{var} \left( \sum_{h=1}^H \hat{P}_{1h} \hat{P}_{2hk} M_{hk} \right) = & \\
& \sum_{h=1}^H \left( \hat{P}_{1h}^2 + \text{var}(\hat{P}_{1h}) \right) \left\{ \left( \hat{P}_{2hk}^2 + \text{var}(\hat{P}_{2hk}) \right) \text{var}(M_{hk}|n_{2h}) + M_{hk}^2 \text{var}(\hat{P}_{2hk}) \right\} \\
& + \sum_{h=1}^H \sum_{l=1}^H \hat{P}_{2hk} M_{hk} \hat{P}_{2lk} M_{lk} \text{Cov}(\hat{P}_{1h}, \hat{P}_{1l}) \tag{9}
\end{aligned}$$

On peut réécrire (Eq. 9) en trois termes additifs qui correspondent, dans l'ordre, à la variance d'hétérogénéité (de  $y$  dans le sous-domaine et dans la strate), de sous-domaine (variance de la proportion du sous-domaine dans la strate) et de stratification (variance d'estimation de la taille de la strate) qui sont élégamment détaillées dans la note de spécification (Hervé 2006, 2007) -à la différence qu'ici les formules s'appuient sur les proportions de première phase et non sur les surfaces, donc les trois termes doivent être multipliés par  $A_D^2$  pour retrouver la valeur de la variance du total, ou, simplement en remplaçant  $\hat{P}_{1h}$  par  $\hat{A}_h$  :

Terme 1, variance d'hétérogénéité

$$\sum_{h=1}^H \left( \hat{P}_{1h}^2 + \text{var}(\hat{P}_{1h}) \right) \left( \hat{P}_{2hk}^2 + \text{var}(\hat{P}_{2hk}) \right) \text{var}(M_{hk}|n_{2h})$$

Terme 2, variance de sous-domaine

$$\sum_{h=1}^H \left( \hat{P}_{1h}^2 + \text{var}(\hat{P}_{1h}) \right) \left( M_{hk}^2 \text{var}(\hat{P}_{2hk}) \right)$$

Terme 3, variance de stratification

$$\sum_{h=1}^H \sum_{l=1}^H \hat{P}_{2hk} M_{hk} \hat{P}_{2lk} M_{lk} \text{Cov}(\hat{P}_{1h}, \hat{P}_{1l})$$

Il ne s'agit pas d'une analyse de variance mais d'un découpage de celle-ci qui identifie et attribue chacun des termes à une source. Le calcul de ces termes nécessite d'estimer les différentes espérances et variances impliquées, à base des données mesurées ou estimées, ici présentées dans le tableau suivant (2).

Lorsque le nombre de points de deuxième phase dans une strate est petit, l'estimation de la variance d'un total (Eq. 8 et 9) ne se fait plus à base de ces estimateurs, mais à base d'un calcul qui s'appuie sur l'hypothèse d'un coefficient de variation de 100%. Cette estimation alternative n'est pas décrite ici, elle devra faire l'objet d'une analyse sur son ampleur opérationnelle, ses effets et ses limites.

**Table 2** – Estimation des termes d'espérance et variance mis en œuvre par les estimateurs du total d'un paramètre  $y$ .

Terme	Estimateur	Terme dans (9)
$var(P_{1h})$	$\widehat{var}(\hat{P}_{1h}) = \frac{\hat{P}_{1h}(1-\hat{P}_{1h})}{n_{1h}-1}$	1,2
$var(P_{2hk})$	$\widehat{var}(\hat{P}_{2hk}) = \frac{\hat{P}_{2hk}(1-\hat{P}_{2hk})}{n'_{2h}-1}$	1,2
$var(M_{hk} n_{2h})$	$\widehat{var}(M_{hk} n_{2h}) = \frac{S_{y,hk}^2}{n_{2h}}$	2
$M_{y,hk}$	$S_{y,hk}^2 = \left(1 - \frac{1}{n'_{2hk}}\right) \frac{\sum_{i=1}^{n_{2hk}} w_i (y_i - M_{y,hk})^2}{\sum_{i=1}^{n_{2hk}} w_i}$ <p>où <math>n_{2hk}</math> est la taille de l'échantillon <math>s_{2h} \cap k</math> de phase 2 et</p> $\hat{M}_{y,hk} = \frac{\sum_{i=1}^{n_{2hk}} w_i y_i}{\sum_{i=1}^{n_{2hk}} w_i}$ <p>et <math>n'_{2h} = \frac{(\sum_{i=1}^{n_{2hk}} w_i)^2}{\sum_{i=1}^{n_{2hk}} w_i^2}</math></p>	
$Cov(\hat{P}_{1h}, \hat{P}_{1l})$	$\widehat{Cov}(\hat{P}_{1h}, \hat{P}_{1l}) = -\frac{(\hat{P}_{1h}\hat{P}_{1l})}{n_1-1}$	3

## 6.4 Variance de la moyenne

La variance de la moyenne d'un attribut  $y$  sur un sous-domaine donné est calculée comme un ratio de moyennes. D'une manière générique, pour deux totaux  $X$  et  $Y$ , le ratio des moyennes est comme suit :

$$R = \frac{\tau_Y}{\tau_X} = \frac{A_D \bar{Y}}{A_D \bar{X}} = \frac{\bar{Y}}{\bar{X}}$$

Dans le cas du volume moyen ( $m^3 \text{ ha}^{-1}$ ),  $\tau_Y$  est le volume total et  $\tau_X$  est la surface du sous-domaine en question (et que l'on peut décliner en strates).

Il n'y a pas de solution analytique simple au calcul de la variance de  $R$ , mais à la différence de pratiquement tous les inventaires forestiers, ce n'est pas la linéarisation que Jean-Christophe Hervé a choisie pour approcher la variance du ratio.

Dans la linéarisation, le ratio empirique  $R$  sert à calculer une variable résiduelle sur chaque point, différence entre la valeur au point de l'attribut  $y$  (numérateur) et la prédiction de  $y$  basée sur le ratio. Cette résiduelle est ensuite traitée comme une nouvelle variable aléatoire dont la variance, calculée comme celle d'une variable continue quelconque, sert d'estimation à la variance de  $R$  :

$$\hat{R} = \frac{\bar{Y}}{\bar{X}} \rightarrow \hat{Y} = \hat{R}X \text{ et } Y - \hat{Y} = Y - \hat{R}X$$

Ici au lieu de se baser sur la résiduelle issue de linéarisation  $u_i = y_i - \hat{R}_k x_i$  c'est plutôt  $u_i = y_i - \hat{R}_k \bar{X} = y_i - \hat{M}_{y,k}$  qui est utilisé.

Les raisons de choix ne sont pas claires pour le moment, elles devront faire l'objet de plus de travaux, et la comparaison d'estimateurs alternatifs devrait apporter un éclairage sur les performances et propriétés de l'estimateur implémenté.

Les estimateurs de ratio ont donc une forme très proche de celle du total d'un attribut  $y$  quelconque, à la différence que :

- la moyenne de  $y$  dans  $h$  et  $k$  est remplacée par la résiduelle  $u_i$  calculée entre la valeur de  $y$  à chaque point de S2, et la moyenne dans la catégorie et dans tout le domaine (pas dans les post-strates, dans  $D$ ).

De fait cette résiduelle est calculée sur le même sous-ensemble de S2 que la moyenne pondérée elle-même.

- ici les termes de variance ne sont pas multipliés par le carré de la surface, s'agissant d'un ratio et pas d'un total.

## 7 Discussion

### 7.1 Fondements principaux

L'IFN met en œuvre un échantillonnage annuel basé sur un réseau systématique spatialement, en deux phases, avec stratification à l'issue de la première phase, et post-stratification. Associer stratification (tirage d'unités d'échantillonnage à poids variables selon l'issue de la photo-interprétation) et post-stratification (groupement deux échantillons toujours selon la photo-interprétation) est très rare (et peut être même unique ?) dans une enquête. La post-stratification est ici un outil de redressement sur la surface (c'est-à-dire une méthode d'estimation au sens de la théorie des sondages). C'est a priori très efficace parce que l'échantillon de première phase, beaucoup plus volumineux, estime justement la surface des strates par proportions. Il y a à ce sujet un vrai consensus (ex. Pulkkinen et al. [2018], Saborowski and Cancino [2007], Westfall et al. [2019]).

L'échantillon de deuxième phase fournit les valeurs qui ne peuvent s'estimer qu'à base de mesures de terrain. Les estimateurs de variance diffèrent clairement de ceux généralement utilisés pour un inventaire à deux phases pour stratification. La raison principale tient au fait que la moyenne d'un attribut est calculée exclusivement sur la fraction non nulle de l'échantillon, formant une sorte de double post-stratification. La conséquence n'est pas tant visible sur les estimateurs des totaux que sur ceux des variances. Il est pratiquement impossible d'en mesurer l'importance pratique sans tests spécifiques, mais l'avantage qu'apporte une variable mieux distribuée (car n'ayant pas une majorité de valeurs nulles donc probablement plus « normale ») est probablement souvent contrebalancé par des effectifs beaucoup plus faibles pour les estimations, notamment dans les strates. L'obligation de manipuler des points de deuxième phase à poids inégaux fut une contrainte relativement beaucoup moins importante. S'agissant des totaux, on peut vérifier qu'on obtient les formules les plus classiques (ex. Cochran [1977]) en posant  $w_i = 1$ .

### 7.2 Aspect spatialement systématique des tirages, principe de dualité

#### 7.2.1 Tirage aléatoire systématique

Dans l'examen des hypothèses et difficultés d'estimation des variances liées à l'échantillonnage, il faut découpler les problèmes liés à un tirage systématique de ceux liés à un tirage

spatialement systématique. La grille est le support d'un échantillonnage bidimensionnel systématique (Dunn and Harrison [1993]) qui fait intervenir les problèmes dits de périodicité des variations (Cochran [1977]). Mais les performances de l'échantillonnage systématique semblent dépendre de la taille des mailles en rapport avec les paramètres étudiés (Dunn and Harrison [1993]).

Malgré les reproches que l'on peut émettre, en particulier des difficultés de calculer une variance non biaisée dans le cas d'un échantillon systématique, ici trois avantages très forts militent en faveur de cette méthode : - la couverture spatiale plus efficace, en particulier l'absence de trous qu'un tirage vraiment aléatoire générerait presque sûrement (Cochran [1946], Stevens JR and Olsen [2004]) - tous les points ont le même poids, c'est extrêmement utile dans la formation des estimateurs - la distance entre points (plutôt grande) réduit très fortement les risques de corrélation spatiale. Les aspects liés au caractère systématique ne sont donc pas a priori problématiques (avis apparemment partagé par Fattorini et al. [2009]). - une partition du domaine spatial permettant d'extraire, dans l'ensemble des sous-ensembles de l'ensemble des entités de surface forestière, un sous-ensemble d'unités d'échantillonnage pondérées autorisant la sommation, c'est-à-dire l'estimation de la surface forestière.

### **7.2.2 Principe de dualité, ou comment passer d'une population continue à une population discrète**

Cette dualité (ou équivalence) est très peu discutée dans la littérature (Mandallaz, Mandallaz). Elle est décrite comme une forme tirage Monte Carlo brut (*Crude Monte Carlo*). Au fond, elle suppose que la densité spatiale moyenne peut être approchée par la moyenne empirique estimée sur un échantillon. Elle suppose aussi une indépendance des points utilisés pour le calcul de la moyenne, ce qui n'est pas le cas compte tenu du caractère spatialement systématique. Aussi la randomisation spatiale contribue-t-elle un peu à rendre un caractère plus indépendant. Quoi qu'il en soit, il ne faut pas conclure qu'il s'agit d'une approche basée sur les modèles des estimateurs, ceux-ci restant bien basés sur l'échantillonnage, donc sur l'aspect aléatoire du tirage des points. On notera bien qu'on a fait l'hypothèse d'une indépendance des points, mais pas seulement : l'estimation de la variance d'un attribut arbre ou peuplement  $y$  repose sur l'hypothèse que tous les points ont une même variance  $S_{y,hk}^2$  sur tout le domaine, dans la strate. Ce n'est pas si évident compte tenu des regroupements des catégories de couverture au sol (UCS).

### **7.2.3 Les questions les plus difficiles vis-à-vis des méthodes déployées**

**La censure des 9/10 de la surface du territoire**, liée à l'utilisation d'un découpage en années de la grille. L'objectif originel était de s'assurer que tout le territoire était parcouru à l'issue de 10 années. Chaque année prend donc une fraction, à l'image des cycles d'inventaires pour les inventaires périodiques. Mais ici les estimations et les erreurs d'échantillonnage à 5 ans sont calculées comme des moyennes arithmétiques, donc faisant complètement abstraction de l'augmentation du taux de couverture spatiale. Mais on ne pouvait pas tenir compte de cette augmentation si on n'avait pas aussi négligé en même temps les aspects des tirages liés aux mailles et aux points. On arrive donc à une contradiction : on néglige l'organisation spatiale annuelle et on crée une dépendance

temporelle des échantillons. Une réflexion sur la construction des échantillons annuels et la combinaison de plusieurs échantillons s'impose donc, car elle permettrait de combiner plusieurs échantillons plutôt que de combiner plusieurs estimations. La différence est que la combinaison d'estimations fait la moyenne de variances calculées sur des échantillons de taille  $n$ , et reste donc d'ordre  $\frac{1}{\sqrt{n}}$  tandis que la combinaison d'échantillons serait de l'ordre  $\frac{1}{\sqrt{5 \times n}}$  soit donc au moins deux fois plus petite.

**Le conditionnement fait l'objet de questions dans la littérature** et ne fait pas unanimité. Si quelques auteurs préconisent l'utilisation du conditionnement (Gregoire et al. [2016], Westfall et al. [2019]) mais certains détracteurs (Köhl et al. [2006], Scott et al. [2005]) ont déjà fait valoir que l'hypothèse implicite d'équilibre de distribution des effectifs de points entre strates que suppose le conditionnement n'était pas toujours satisfaite. Dans l'inventaire français, compte tenu du double conditionnement et de la stratification très poussée, ces questions restent ouvertes : impossible de se positionner sans une analyse approfondie.

## 8 Remerciements

A Jean-Daniel Bontemps, pour sa contribution très utile et pertinente à cet effort de reconstruction et de documentation de ces méthodes complexes, à Nicolas Paparoditis et la DRE de l'IGN, pour leur confiance, et le recrutement d'une compétence en inventaire et sondage statistique, à un moment où cette dernière n'avait désormais plus aucune assise à l'inventaire.

Guillaume Chauvet (ENSAI) et Philippe Brion (IRMAR), qui ont accepté d'entrer dans une phase d'échanges approfondis puis de collaboration sur une enquête à caractère singulier, avec des approches originales mais jusqu'ici très mal documentées, pour avoir aidé efficacement à identifier et reformuler les principes de sondage sous-jacents.

A Jean-Christophe Hervé, pour avoir accepté de partager, toujours exclusivement dans une forme de tradition orale qui était sa façon de dispenser les connaissances, quelques fragments de raisonnement sur ces estimateurs qui m'ont servi de points d'ancrage dans cette analyse.

## 9 Bibliographie

Documents à disposition présentant les estimateurs :

Hervé JC (2005) Estimateurs du sondage systématique. 23 mai 2005.

Hervé JC (2006) Variance des estimateurs trois fois post-stratifiés. 10 janvier 2006.

Hervé JC (2007) Variance des estimateurs stratifiés. 5 juin 2007.

Pesty B (2014) Projet : Service de calcul. Architecture Technique. Version : 3.1.0. 21 Janvier 2014.

Wolsack J (2002) Estimateurs statistiques de l'inventaire général. 23 avril 2002.

IFN (collectif). Dossier de présentation au Comité du label de la statistique publique. Mai 2017.

IFN (collectif). Réponse aux remarques du pré-label du 3 mai 2017.

## 10 Littérature de spécialité

Cochran W.G. Relative accuracy of systematic and stratified random samples for a certain class of populations. *The Annals of Mathematical Statistics*, pages 164–177, 1946.

Cochran W.G. *Sampling techniques (1st edition)*. John Wiley & Sons, 195.

Cochran W.G. *Sampling techniques (3d edition)*. John Wiley & Sons, 1977.

Dunn R. et A.R. Harrison. Two-dimensional systematic sampling of land use. *Journal of the Royal Statistical Society : Series C (Applied Statistics)*, 42(4) :585–601, 1993.

Fattorini L., S. Franceschi, et C. Pisani. A two-phase sampling strategy for large-scale forest carbon budgets. *Journal of statistical planning and inference*, 139(3) :1045–1055, 2009.

Goodman L.A. The variance of the product of k random variables. *Journal of the American Statistical Association*, 57(297) :54–60, 1962.

Gregoire T.G. et H.T. Valentine. *Sampling strategies for natural resources and the environment*. CRC Press, 2007.

Gregoire T.G., A.H. Ringvall, G. Ståhl, et E. Næsset. Conditioning post-stratified inference following two-stage, equal-probability sampling. *Environmental and ecological statistics*, 23(1) :141–154, 2016.

Köhl M., S.S. Magnussen, et M. Marchetti. *Sampling methods, remote sensing and GIS multiresource forest inventory*. Springer Science & Business Media, 2006.

Little R.J.A. Post-stratification : a modeler’s perspective. *Journal of the American Statistical Association*, 88(423) :1001–1012, 1993.

Mandallaz D. *A unified approach to sampling theory for forest inventory based on infinite population and superpopulation models*. PhD thesis, ETH Zurich, 1991.

Mandallaz D. Design-based properties of some small-area estimators in forest inventory with two-phase sampling. *Canadian Journal of Forest Research*, 43(5) :441–449, 2013.

Pulkkinen M., C. Ginzler, B. Traub, et A. Lanz. Stereo-imagery-based post-stratification by regression-tree modelling in swiss national forest inventory. *Remote Sensing of Environment*, 213 :182–194, 2018.

Saborowski J. et J. Cancino. About the benefits of poststratification in forest inventories. *J. For. Sci.*, 53(4) :139–148, 2007.



- Scott C.T., W.A. Bechtold, G.A. Reams, W. D. Smith, J.A. Westfall, M. H. Hansen, et G.G. Moisen. Sample-based estimators used by the forest inventory and analysis national information management system. *Gen. Tech. Rep. SRS-80. Asheville, NC : US Department of Agriculture, Forest Service, Southern Research Station, p. 53-77.*, 2005.
- Stevens D.L. Jr et A.R Olsen. Spatially balanced sampling of natural resources. *Journal of the American statistical Association*, 99(465) :262–278, 2004.
- Stevens D.L. Jr et N.S. Urquhart. Response designs and support regions in sampling continuous domains. *Environmetrics : The official journal of the International Environmetrics Society*, 11(1) :13–41, 2000.
- Tam S.M. On covariance in finite population sampling. *The Statistician*, pages 429–433, 1985.
- Valentine H.T., D.L. Affleck, et T.G. Gregoire. Systematic sampling of discrete and continuous populations : sample selection and the choice of estimator. *Canadian Journal of Forest Research*, 39(6) :1061–1068, 2009.
- Valliant R. Poststratification and conditional variance estimation. *Journal of the American Statistical Association*, 88(421) :89–96, 1993.
- Vidal C., A. Lanz, E. Tomppo, K. Schadauer, T. Gschwantner, L. di Cosmo, et N. Robert. Establishing forest inventory reference definitions for forest and growing stock : a study towards common reporting. 2008.
- Westfall J.A., A.J. Lister, C.T. Scott, et T.A. Weber. Double sampling for post-stratification in forest inventory. *European Journal of Forest Research*, 138(3) :375–382, 2019.

## Annexe A Reconstruction des estimateurs de variance basée sur le conditionnement

Pour sa démonstration, l'estimateur de variance peut se simplifier en factorisant la surface du domaine, laquelle interviendra à la fin dans l'estimation de la variance au carré

$$\text{var} \left( \frac{\hat{\tau}_y(k)}{A_D} \right) = \frac{1}{A_D^2} \text{var}(\hat{\tau}_y(k)) = \text{var} \left( \sum_{h=1}^H \hat{P}_{1h} \hat{P}_{2hk} \right)$$

S'agissant d'une somme sur les H post-strates du domaine,

$$\text{var} \left( \sum_{h=1}^H \hat{P}_{1h} \hat{P}_{2hk} \right) = \sum_{h=1}^H \text{var}(\hat{P}_{1h} \hat{P}_{2hk}) + \sum_{h=1}^H \sum_{l=1}^H \text{cov}(\hat{P}_{1h} \hat{P}_{2hk}, \hat{P}_{1l} \hat{P}_{2lk}) \quad (10)$$

Pour le premier terme, somme des variances propres aux strates, on conditionne par rapport au nombre de points de première phase et de deuxième phase tombés dans la strate  $h$ , et d'après le théorème de la variance totale on a :

$$\begin{aligned} \text{var} \left( \hat{P}_{1h} \hat{P}_{2hk} | n_{1h} \right) &= \text{var} \left\{ E(\hat{P}_{1h} \hat{P}_{2hk} | n_{1h}) \right\} + E \left\{ \text{var}(\hat{P}_{1h} \hat{P}_{2hk} | n_{1h}) \right\} \\ &= \text{var} \left\{ \hat{P}_{1h} E(\hat{P}_{2hk} | n_{1h}) \right\} + E \left\{ \hat{P}_{1h}^2 \text{var}(\hat{P}_{2hk} | n_{1h}) \right\} \\ &= \text{var} \left\{ \hat{P}_{1h} E(\hat{P}_{2hk} | n_{1h}) \right\} + \hat{P}_{1h}^2 E \left( \text{var}(\hat{P}_{2hk} | n_{1h}) \right) \\ &= \text{var} \left\{ \hat{P}_{1h} E(\hat{P}_{2hk} | n_{1h}) \right\} + \hat{P}_{1h}^2 \text{var}(\hat{P}_{2hk}) \end{aligned} \quad (10)$$

Le premier terme, la variance des produits, fait apparaître deux problèmes : l'un, une hypothèse d'indépendance ; l'autre, celui de l'estimation de la variance d'un produit. D'après Goodman [1962], la variance du produit de deux variables aléatoires indépendantes  $X$  et  $Y$  peut se calculer comme

$$\text{var}(XY) = E(X)^2 \text{var}(Y) + E(Y)^2 \text{var}(X) + \text{var}(X) \text{var}(Y) \quad (11)$$

On peut retrouver cette expression sous une autre forme, équivalente :

soit  $X \hookrightarrow \mathcal{N}(\mu_X, \sigma_X^2)$  et  $Y \hookrightarrow \mathcal{N}(\mu_Y, \sigma_Y^2)$ ,

$$\text{var}(XY) = (\mu_X^2 + \sigma_X^2)(\mu_Y^2 + \sigma_Y^2) - \mu_X^2 \mu_Y^2 = \mu_X^2 \sigma_Y^2 + \mu_Y^2 \sigma_X^2 + \sigma_X^2 \sigma_Y^2$$

Ces expressions font l'hypothèse que  $X$  et  $Y$  sont indépendantes. S'agissant des proportions  $\hat{P}_1$  et  $\hat{P}_2$ , l'hypothèse d'indépendance est cohérente avec le conditionnement réalisé sur  $n_{1h}$ , les proportions de deuxième phase étant considérées comme indépendantes et normales dans une strate donnée, selon un concept proche de "l'ancillarité" (Little [1993], Valliant [1993]).

Il n'y a pas de trace écrite de cette hypothèse, à part un transparent dans une présentation de 2005 (date approximative basée sur les propriétés du fichier powerpoint), mais qui est

sans équivoque et qui stipule (Hervé 2005) :

“La moyenne de  $V$  dans  $S$  est estimée à partir des valeurs de  $V$  pour les points tombant dans  $S$ ;  $S$  est estimée à partir de l’ensemble des points tombant dans  $D$ .” Ici,  $S$  est estimé comme  $A_D \times P_1$  et

$$\begin{aligned} \hat{t}ot(V|S) &= \hat{S}.\widehat{moy}(V|S) \\ CV(\hat{t}ot) &\simeq \sqrt{CV^2(\hat{S}) + CV^2(\widehat{moy})} \end{aligned}$$

Tout porte donc à penser que cette hypothèse d’indépendance a été explicitement considérée.

Deuxième point, la variance du produit fait apparaître plusieurs termes qui n’ont pas les mêmes ordres de grandeur. Une réflexion sur les valeurs respectives de ces termes a vraisemblablement eu lieu, visant à estimer leur importance et contribution à la variance dans un but de simplification des calculs. L’utilisation de la formule de Goodman [1962] fait apparaître trois termes :

$$var \left\{ \hat{P}_{1h} \hat{P}_{2hk} \right\} = var(\hat{P}_{1h}) var(\hat{P}_{2hk}) + E(\hat{P}_{1h})^2 var(\hat{P}_{2hk}) + E(\hat{P}_{2hk})^2 var(\hat{P}_{1h})$$

On observe en première lecture que les deux derniers sont probablement beaucoup plus petits que le premier (le produit de variance). Les variables  $\hat{P}_1$  et  $\hat{P}_2$  étant des binomiales, leur moyenne est proportionnelle à  $P$  et leur variance à  $P(1 - P) \sim P^2$ . Pour les deux produits suivants par contre, le carré de la moyenne est de l’ordre de  $P^2$  et la variance  $P^2$  donc les termes sont proportionnels à  $P^3$  ou à  $P^4$ . Pour s’en assurer, une étude sur des valeurs fictives variant sur une gamme large (de 0,01 à 0,6) permet de comparer ces termes en calculant une matrice croisant les combinaisons de valeurs (Table 3).

On peut constater qu’il existe un facteur 2 au minimum dans la plupart des situations entre  $var(\hat{P}_1) var(\hat{P}_2)$  et les autres termes. Toutefois dans les situations extrêmes ( $P_1$  très petit et  $P_2$  très grand ou l’inverse) les ordres de grandeur deviennent semblables et l’hypothèse de prédominance de  $var(P_1) var(P_2)$  devient donc fausse. Mais ces situations, qui représentent par exemple un taux de forêt faible en première phase et un taux fort en deuxième phase, sont peu probables en pratique.

Il apparaît donc comme très probable que le choix a été fait de la simplification de l’estimation de la variance du produit en ne conservant que le terme correspondant au produit des variances. L’équation Eq. (10) peut alors s’écrire comme

$$\begin{aligned} var \left( \hat{P}_{1h} \hat{P}_{2hk} | n_{1h} \right) &= var \left\{ E(\hat{P}_{1h}) E(\hat{P}_{2hk}) | n_{1h} \right\} + \hat{P}_{1h}^2 var(\hat{P}_{2hk}) \\ &= var(\hat{P}_{1h}) var(\hat{P}_{2hk}) + \hat{P}_{1h}^2 var(\hat{P}_{2hk}) \\ &= \left( \hat{P}_{1h}^2 + var(\hat{P}_{1h}) \right) var(\hat{P}_{2hk}) \end{aligned}$$

La variance de la proportion moyenne de  $k$  dans la strate  $h$  peut s’estimer comme (variance d’une proportion) :

$$\widehat{var}(\hat{P}_{2hk}) = \frac{\hat{P}_{2hk}(1 - \hat{P}_{2hk})}{n_{2h} - 1}$$

**Table 3** – Taux de tirage des points de deuxième phase en fonction de la catégorie d'utilisation du sol

	$P_1$	0.01	0.1	0.2	0.3	0.4	0.5	0.6
	$P_2$							
$var(P_1).var(P_2)$	0.01	1e-04	1e-04	0.002	0.003	0.004	0.005	0.006
$var(P_1).var(P_2)$	0.10	1e-03	1e-03	0.020	0.030	0.040	0.050	0.060
$var(P_1).var(P_2)$	0.20	2e-03	2e-03	0.040	0.060	0.080	0.100	0.120
$var(P_1).var(P_2)$	0.30	3e-03	3e-03	0.060	0.090	0.120	0.150	0.180
$var(P_1).var(P_2)$	0.40	4e-03	4e-03	0.080	0.120	0.160	0.200	0.240
$var(P_1).var(P_2)$	0.50	5e-03	5e-03	0.100	0.150	0.200	0.250	0.300
$var(P_1).var(P_2)$	0.60	6e-03	6e-03	0.120	0.180	0.240	0.300	0.360
$P_1^2.var(P_2)$	0.01	9.900e-07	9.900e-07	0.000016	0.000021	0.000024	0.000025	0.000024
$P_1^2.var(P_2)$	0.10	9.900e-05	9.900e-05	0.001600	0.002100	0.002400	0.002500	0.002400
$P_1^2.var(P_2)$	0.20	3.960e-04	3.960e-04	0.006400	0.008400	0.009600	0.010000	0.009600
$P_1^2.var(P_2)$	0.30	8.910e-04	8.910e-04	0.014400	0.018900	0.021600	0.022500	0.021600
$P_1^2.var(P_2)$	0.40	1.584e-03	1.584e-03	0.025600	0.033600	0.038400	0.040000	0.038400
$P_1^2.var(P_2)$	0.50	2.475e-03	2.475e-03	0.040000	0.052500	0.060000	0.062500	0.060000
$P_1^2.var(P_2)$	0.60	3.564e-03	3.564e-03	0.057600	0.075600	0.086400	0.090000	0.086400
$P_2^2.var(P_1)$	0.01	9.9e-07	9.9e-07	0.000396	0.000891	0.001584	0.002475	0.003564
$P_2^2.var(P_1)$	0.10	9.0e-06	9.0e-06	0.003600	0.008100	0.014400	0.022500	0.032400
$P_2^2.var(P_1)$	0.20	1.6e-05	1.6e-05	0.006400	0.014400	0.025600	0.040000	0.057600
$P_2^2.var(P_1)$	0.30	2.1e-05	2.1e-05	0.008400	0.018900	0.033600	0.052500	0.075600
$P_2^2.var(P_1)$	0.40	2.4e-05	2.4e-05	0.009600	0.021600	0.038400	0.060000	0.086400
$P_2^2.var(P_1)$	0.50	2.5e-05	2.5e-05	0.010000	0.022500	0.040000	0.062500	0.090000
$P_2^2.var(P_1)$	0.60	2.4e-05	2.4e-05	0.009600	0.021600	0.038400	0.060000	0.086400

D'où finalement

$$\widehat{var}(\hat{P}_{1h}\hat{P}_{2hk}|n_{1h}) = \left( \hat{P}_{1h}^2 + var(\hat{P}_{1h}) \right) \left( \frac{\hat{P}_{2hk}(1 - \hat{P}_{2hk})}{n_{2h} - 1} \right) \quad (12)$$